

الاتحاد الدولي للاتصالات

ITU-R

قطاع الاتصالات الراديوية في الاتحاد الدولي للاتصالات

التوصيّة P.526-12
(2012/02)

الانتشار بالانعراج

السلسلة P

انتشار الموجات الراديوية



تمهيد

يضطلع قطاع الاتصالات الراديوية بدور يتمثل في تأمين الترشيد والإنصاف والفعالية والاقتصاد في استعمال طيف الترددات الراديوية في جميع خدمات الاتصالات الراديوية، بما فيها الخدمات الساتلية، وإجراء دراسات دون تحديد مدى الترددات، تكون أساساً لإعداد التوصيات واعتمادها. ويؤدي قطاع الاتصالات الراديوية وظائفه التنظيمية والسياسية من خلال المؤتمرات العالمية والإقليمية للاتصالات الراديوية وجمعيات الاتصالات الراديوية بمساعدة لجان الدراسات.

سياسة قطاع الاتصالات الراديوية بشأن حقوق الملكية الفكرية (IPR)

يرد وصف للسياسة التي يتبعها قطاع الاتصالات الراديوية فيما يتعلق بحقوق الملكية الفكرية في سياسة البراءات المشتركة بين قطاع تقنيين للاتصالات وقطاع الاتصالات الراديوية والمنظمة الدولية للتوكيد القياسي واللجنة الكهربائية الدولية (ITU-T/ITU-R/ISO/IEC) والمشار إليها في الملحق 1 بالقرار 1 ITU-R. وتعد الاستثمارات التي ينبغي لحاملي البراءات استعمالها لتقديم بيان عن البراءات أو للتصریح عن منح رخص في الموقع الإلكتروني <http://www.itu.int/ITU-R/go/patents/en> حيث يمكن أيضاً الاطلاع على المبادئ التوجيهية الخاصة بتطبيق سياسة البراءات المشتركة وعلى قاعدة بيانات قطاع الاتصالات الراديوية التي تتضمن معلومات عن البراءات.

سلال توقيعات قطاع الاتصالات الراديوية

(يمكن الاطلاع عليها أيضاً في الموقع الإلكتروني <http://www.itu.int/publ/R-REC/en>)

العنوان	السلسلة
البث الساتلي	BO
التسجيل من أجل الإنتاج والأرشفة والعرض؛ الأفلام التلفزيونية	BR
الخدمة الإذاعية (الصوتية)	BS
الخدمة الإذاعية (التلفزيونية)	BT
الخدمة الثابتة	F
الخدمة المتنقلة وخدمة تحديد الراديوى للموقع وخدمة الهواة والخدمات الساتلية ذات الصلة	M
انتشار الموجات الراديوية	
علم الفلك الراديوى	RA
أنظمة الاستشعار عن بعد	RS
الخدمة الثابتة الساتلية	S
التطبيقات الفضائية والأرصاد الجوية	SA
تقاسم الترددات والتنسيق بين أنظمة الخدمة الثابتة الساتلية والخدمة الثابتة	SF
إدارة الطيف	SM
التحميم الساتلي للأخبار	SNG
إرسالات الترددات المعيارية وإشارات التوقيت	TF
المفردات والمواضيع ذات الصلة	V

ملاحظة: ثمت الموافقة على النسخة الإنكليزية لهذه التوصية الصادرة عن قطاع الاتصالات الراديوية بموجب الإجراء الموضح في القرار 1 ITU-R .

النشر الإلكتروني
جنيف، 2012

التوصية 12 ITU-R P.526

الانتشار بالانعراج

(المسألة 202/3 ITU-R)

(1978-1982-1992-1994-1995-1997-1999-2001-2003-2005-2007-2009-2012)

مجال التطبيق

تقدم هذه التوصية العديد من النماذج التي تمكن القارئ من تقييم أثر الانعراج على شدة المجال المستقبل. ويمكن تطبيق هذه النماذج على الأماكن المختلفة للعواائق وعلى مسارات ذات هندسة مختلفة.

إن جمعية الاتصالات الراديوية للاتحاد الدولي للاتصالات،

إذ تضع في اعتبارها

أ) أن ثمة حاجة لتوفير معلومات هندسية من أجل حساب قيم شدة المجال على مسارات الانعراج،

توصي

1 بـأن تُستعمل الطرائق الموضحة في الملحق 1 من أجل حساب قيم شدة المجال على مسارات الانعراج التي قد تشمل مساحة أرضية كروية، أو تضاريس أرضية غير منتظمة قد تنطوي على أنواع مختلفة من العواائق.

الملاحق 1

1 المقدمة

على الرغم من أن الانعراج لا ينبع إلا عن سطح الأرض أو عن عوائق أخرى، يجب أن يؤخذ في الاعتبار متوسط الانكسار الجوي على مسیر الإرسال لتقدير المعلمات الهندسية التي تقع في المستوى الرأسی للمسیر (زاوية الانعراج، ونصف قطر الانحناء، وارتفاع العائق). ويجب، لتحقيق هذا الغرض، أن يرسم المظہر الجانبي للمسیر مع نصف قطر الأرض المكافئ المناسب (التوصية ITU-R P.834). وإذا لم تتيّسر معلومات أخرى، يمكن الاستناد إلى نصف قطر أرض مكافئ قدره .km 8 500

2 مفاهيم أساسية

يتأثر انعراج الموجات الراديوية على سطح الأرض بعدم انتظام التضاريس الأرضية. وفي هذا الصدد، وقبل التعمق في تناول طرق التنبؤ الخاصة بآلية الانتشار، نورد في هذا القسم بعض المفاهيم الأساسية.

1.2 المسممات الإهليجية لفريبنل ومناطق فريبنل (Fresnel)

عند دراسة انتشار الموجات الراديوية بين نقطتين A وB، يمكن تقسيم الفضاء المعين إلى عائلة من المسممات الإهليجية تُعرف باسم إهليجيات فريبنل، تحمل جميعها نقاطاً بؤرية عند A وB وعلى نحو تستجيب فيه أية نقطة M على المسمم الإهليجي للعلاقة التالية:

$$(1) \quad AM + MB = AB + n \frac{\lambda}{2}$$

حيث تمثل n رقمًا صحيحاً يميز الإهليج المعين وحيث تتطابق $n = 1$ مع الإهليجي الأول لفريبنل، إلخ، وتمثل λ طول الموجة. وكقاعدة عملية، نفترض أن الانتشار يحدث في خط البصر (LoS) أي مصحوباً بظواهر انعراج يمكن إهمالها، إذا لم يوجد أي عائق داخل المسمم الإهليجي الأول لفريبنل.

ويمكن تقريب نصف قطر إحدى المسممات الإهليجية عند نقطة بين المرسل والمستقبل في وحدات متسقة ذاتياً بواسطة:

$$(2) \quad R_n = \left[\frac{n \lambda d_1 d_2}{d_1 + d_2} \right]^{1/2}$$

أو في شكل وحدات عملية:

$$(3) \quad R_n = 550 \left[\frac{n d_1 d_2}{(d_1 + d_2) f} \right]^{1/2}$$

حيث تمثل f التردد (MHz) و d_1 و d_2 المسافتان (km) بين المرسل والمستقبل عند النقطة التي يُحسب فيها نصف قطر المسمم الإهليجي (m).

وتتطلب بعض المشكلات مراعاة مناطق فريبنل وهي المناطق التي يحصل عليها من خلال تقاطع عائلة من المسممات الإهليجية مع سطح مستوٍ. وتكون المنطقة ذات الرتبة n هي الجزء الواقع بين المنحنيات التي يحصل عليها بواسطة المسممين الإهليجين n و $n - 1$ ، على التوالي.

2.2 عرض الظليل (شبة الظل)

يحدد الانتقال من الضوء إلى الظل منطقة الظليل. ويحدث هذا الانتقال على طول شريط ضيق (عرض الظليل) داخل حدود الظل الهندسي. ويبين الشكل 1 عرض الظليل (W) في حالة وجود مرسل عند ارتفاع، h ، فوق أرض دائيرية سلسة، التي تُعطى بواسطة:

$$(4) \quad w = \left[\frac{\lambda a_e^2}{\pi} \right]^{1/3} \text{ m}$$

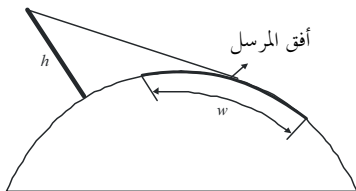
حيث:

λ : طول الموجة (m)؛

a_e : نصف قطر الأرض الفعال (m).

الشكل 1

تعريف عرض الظليل



P.0526-01

3.2 منطقة الانعراج

تمتد منطقة انعراج المرسل من مسافة خط البصر (LoS) حيث يساوي خلوص المسير 60% من نصف قطر منطقة فرينل الأولى (R_1), إلى مسافة أبعد بكثير من أفق المرسل حيث تهيمن آلية الانتشار التروبوسفيري.

4.2 معيار سلاسة سطح العائق

إذا كانت سطح العائق أشكال غير منتظامة لا تتجاوز Δh ,

حيث:

$$(5) \quad \Delta h = 0.04 [R\lambda^2]^{1/3} \quad \text{m}$$

وحيث:

R : نصف قطر الخناء العائق (m);

λ : طول الموجة (m).

يمكن عندئذ اعتبار العائق سلساً ويمكن استعمال الطرق الموضحة في الفقرتين 3 و 2.4 لحساب التوهين.

5.2 العائق المعزول

يمكن اعتبار عائق ما معزولاً إذا لم يكن أي تفاعل بين العائق في حد ذاته والتضاريس الأرضية المحيطة به. وبعبارة أخرى، لا ينتج توهين المسير إلا بسبب العائق وحده دون أي إسهام من باقي التضاريس الأرضية. ويجب أن تُستوفى الشروط التالية:

- انعدام التراكب بين عروض الظليل المرتبطة بكل مطراف وبأعلى العائق؛
- يتبع أن يبلغ خلوص المسير على كلا الجانبين 0,6 من نصف قطر منطقة فرينل الأولى؛
- انعدام انعكاس مرآوي على جانبي العائق معاً.

6.2 أنماط التضاريس الأرضية

يمكن تصنيف أنماط التضاريس الأرضية، تبعاً للقيمة الرقمية للمعلمة Δh (انظر التوصية P.310 ITU-R) المستعملة لتحديد درجة عدم انتظام التضاريس الأرضية، ضمن ثلاثة أنواع:

أ) تضاريس أرضية سلسة

يمكن أن نعتبر أن سطحاً أرضياً سلساً إذا كان مقدار عدم انتظام التضاريس الأرضية يبلغ $0,1R$ أو أقل، حيث R القيمة القصوى لنصف قطر منطقة فرينل الأولى في مسیر الانتشار. وفي هذه الحالة، يستند نموذج التنبؤ إلى الانعراج على أرض كروية (الفقرة 3).

(ب) عوائق معزولة

يتكون المظهر الجانبي للتضاريس الأرضية المتعلقة بمسير الانتشار من عائق واحد أو أكثر. وينبغي في هذه الحالة، وتبعاً للمخططات المبسطة للمثلية المستعملة بهدف تمييز العائق التي تتعرض مسیر الانتشار، استعمال نماذج التنبؤ الموضحة في الفقرة 4.

(ج) تضاريس أرضية متعرجة

يتكون المظهر الجانبي من عدة تلال صغيرة لا يُمثل أي منها عائقاً مهيمناً. وتتلاعّم التوصية ITU-R P.1546 داخل مدى تردداتها مع التنبؤ بشدة المجال ولكنها ليست طريقة انعراج.

7.2 تكامليات فريبن

تعطى تكاملية فريبن المركبة بواسطة:

$$(6) \quad F_c(v) = \int_0^v \exp\left(j \frac{\pi s^2}{2}\right) ds = C(v) + jS(v)$$

حيث ز العامل المركب المساوي للقيمة $-j$ ، و $C(v)$ و $S(v)$ تكامليتا فريبن لجيب التمام وجيب الزاوية اللذان يعرفان بواسطة:

$$(7(a)) \quad C(v) = \int_0^v \cos\left(\frac{\pi s^2}{2}\right) ds$$

$$(7(b)) \quad S(v) = \int_0^v \sin\left(\frac{\pi s^2}{2}\right) ds$$

ويمكن تقدير تكاملية فريبن المركبة $F_c(v)$ بواسطة تكامل رقمي، أو بدقة كافية لمعظم الأغراض بالنسبة إلى قيمة v موجبة باستعمال:

$$(8(a)) \quad F_c(v) = \exp(jx) \sqrt{\frac{x}{4}} \sum_{n=0}^{11} \left[(a_n - jb_n) \left(\frac{x}{4} \right)^n \right] \quad \text{for } 0 \leq x < 4$$

$$(8(b)) \quad F_c(v) = \left(\frac{1+j}{2} \right) + \exp(jx) \sqrt{\frac{4}{x}} \sum_{n=0}^{11} \left[(c_n - jd_n) \left(\frac{4}{x} \right)^n \right] \quad \text{for } x \geq 4$$

حيث:

$$(9) \quad x = 0.5\pi v^2$$

وتمثل a_n و b_n و c_n و d_n معاملات بورسما (Boersma) الواردة أدناه:

a_0	=	+1,595769140	b_0	=	-0,000000033	c_0	=	+0,000000000	d_0	=	+0,199471140
a_1	=	-0,000001702	b_1	=	+4,255387524	c_1	=	-0,024933975	d_1	=	+0,000000023
a_2	=	-6,808568854	b_2	=	-0,000092810	c_2	=	+0,000003936	d_2	=	-0,009351341
a_3	=	-0,000576361	b_3	=	-7,780020400	c_3	=	+0,005770956	d_3	=	+0,000023006
a_4	=	+6,920691902	b_4	=	-0,009520895	c_4	=	+0,000689892	d_4	=	+0,004851466
a_5	=	-0,016898657	b_5	=	+5,075161298	c_5	=	-0,009497136	d_5	=	+0,001903218
a_6	=	-3,050485660	b_6	=	-0,138341947	c_6	=	+0,011948809	d_6	=	-0,017122914
a_7	=	-0,075752419	b_7	=	-1,363729124	c_7	=	-0,006748873	d_7	=	+0,029064067
a_8	=	+0,850663781	b_8	=	-0,403349276	c_8	=	+0,000246420	d_8	=	-0,027928955
a_9	=	-0,025639041	b_9	=	+0,702222016	c_9	=	+0,002102967	d_9	=	+0,016497308
a_{10}	=	-0,150230960	b_{10}	=	-0,216195929	c_{10}	=	-0,001217930	d_{10}	=	-0,005598515
a_{11}	=	+0,034404779	b_{11}	=	+0,019547031	c_{11}	=	+0,000233939	d_{11}	=	+0,000838386

ويمكن تقييم $C(v)$ و $S(v)$ بالنسبة إلى قيم سالبة تخص v من خلال الإشارة إلى أن:

$$(10) \quad C(-v) = -C(v)$$

$$(10) \quad S(-v) = -S(v)$$

3 الانعراج فوق أرض كروية

يمكن أن تُحسب خسارة الإرسال الإضافية العائدة إلى الانعراج فوق أرض كروية بواسطة الصيغة الكلاسيكية لسلسلة البقایا. ويقدم البرنامج الحاسوبي GRWAVE، الذي يوجد لدى الاتحاد الدولي للاتصالات (ITU)، الطريقة بأكملها. وتحتوي التوصية ITU-R P.368 على مجموعة فرعية من نواتج هذا البرنامج (بالنسبة إلى هوائيات قرية من الأرض وعنده ترددات أدنى).

وتصنف الأقسام الفرعية التالية طرائق عدديه وبيانية يمكن استعمالها مع الترددات 10 MHz وما عالها. وبالنسبة للتترددات أدنى من 10 MHz، ينبغي استخدام البرنامج GRWAVE دائمًا. و يقدم القسم 1.3 طرائق من أجل المسيرات فوق خط الأفق. والقسم 1.1.3 عبارة عن طريقة عدديه، بينما يعطي القسم 2.1.3 طريقة بيانية. والقسم 2.3 عبارة عن طريقة تطبق في حالة الأرض المستوية لأي مسافة وعنده أي ترددات تساوي 10 MHz وما عالها. وتستعمل هذه الطريقة العددية الواردة في الفقرة 1.1.3.

1.3 خسارة الانعراج بالنسبة إلى المسيرات عبر الأفق

بالنسبة إلى مسافات طويلة عبر الأفق، يكتسي الحد الأول من سلسلة البقایا دون سواه أهمية كبيرة، وحتى على مقربة من الأفق أو عند الأفق، يمكن استعمال هذا التقریب مع خطأً أقصى يبلغ حوالي 2 dB في معظم الأحوال.

ويمكن كتابة الحد الأول كناتج حد المسافة، F ، وحدى كسب الارتفاع G_T و G_R . ويوضح الجزءان 1.1.3 و 2.1.3 كيفية الحصول على هذه الحدود انتطلاقاً من صيغ بسيطة أو من خلال مخططات بيانية (مونوغرامات).

1.1.3 حسابات رقمية

1.1.1.3 تأثير الخصائص الكهربائية لسطح الأرض

يمكن تحديد مدى تأثير الخصائص الكهربائية لسطح الأرض على خسارة الانعراج، بحساب عامل مقيس لسمانحة السطح K ، (السماح بمرور التيار) يُعطى بواسطة الصيغة التالية:

في وحدات متسقة:

$$(11) \quad K_H = \left(\frac{2\pi a_e}{\lambda} \right)^{-1/3} \left[(\epsilon - 1)^2 + (60\lambda\sigma)^2 \right]^{-1/4} \quad \text{for horizontal polarization}$$

و

$$(12) \quad K_V = K_H \left[\epsilon^2 + (60\lambda\sigma)^2 \right]^{1/2} \quad \text{for vertical polarization}$$

أو في وحدات عملية:

$$(11) \quad K_H = 0.36(a_e f)^{-1/3} \left[(\epsilon - 1)^2 + (18000\sigma/f)^2 \right]^{-1/4}$$

$$(12) \quad K_V = K_H \left[\epsilon^2 + (18000\sigma/f)^2 \right]^{1/2}$$

حيث:

a_e : نصف قطر الأرض الفعال (km);

ϵ : السماحية النسبية الفعالة;

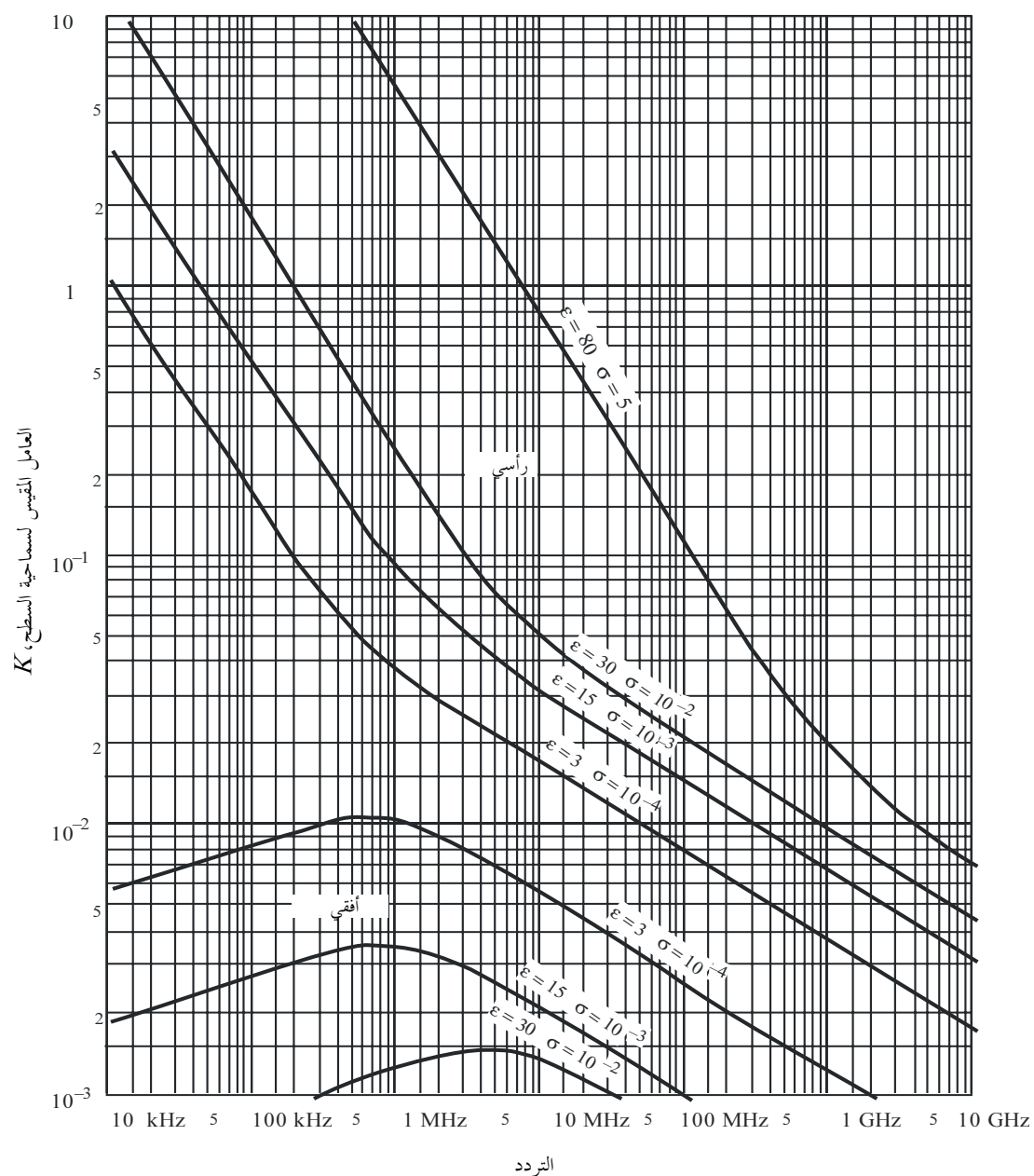
σ : الإيصالية الفعالة (S/m);

f : التردد (MHz).

ويحتوي الشكل 2 على قيم العامل K النمطية.

الشكل 2

حساب K



إذا كانت قيمة K أقل من 0,001، تكون الخصائص الكهربائية للأرض عديمة الأهمية. أما في الحالة التي تكون فيها قيمة K أكبر من 0,001 وأقل من 1، فيجب أن تستعمل الصيغة المناسبة الواردة في الفقرة 2.1.1.3. وعندما تكون قيمة K أكبر من 1 تقريرياً، تختلف شدة مجال الانعراج المحسوبة باستعمال الطريقة الواردة في الفقرة 2.1.1.3 عن النتائج المتحصلة من البرنامج الحاسوبي GRWAVE، ويزيد الاختلاف مع زيادة قيمة K . وينبغي استعمال البرنامج GRWAVE لقيم K التي تزيد عن 1. ولا تحدث هذه الحالة إلا في الاستقطاب الرأسي عند ترددات أدنى من 10 MHz فوق سطح البحر أو أقل من 200 kHz اليابسة. وتسري الطريقة الواردة في الفقرة 2.1.1.3 في كل الحالات الأخرى.

2.1.1.3 صيغ شدة مجال الانعراج

تعطى شدة مجال الانعراج، E ، بالنسبة إلى شدة المجال في الفضاء الحر E_0 بواسطة الصيغة التالية:

$$(13) \quad 20 \log \frac{E}{E_0} = F(X) + G(Y_1) + G(Y_2) \quad \text{dB}$$

حيث X هي الطول المقيس للمسير بين الهوائيات عند ارتفاعين Y_1 و Y_2 مقيسين (وحيث قيمة $20 \log \frac{E}{E_0}$ سالبة في العادة).

في وحدات متسقة:

$$(14) \quad X = \beta \left(\frac{\pi}{\lambda a_e^2} \right)^{1/3} d$$

$$(15) \quad Y = 2\beta \left(\frac{\pi^2}{\lambda^2 a_e} \right)^{1/3} h$$

أو في وحدات عملية:

$$(14) \quad X = 2.188 \beta f^{1/3} a_e^{-2/3} d$$

$$(15) \quad Y = 9.575 \times 10^{-3} \beta f^{2/3} a_e^{-1/3} h$$

حيث:

: طول المسير (km);

: نصف قطر الأرض المكافئ (km);

: ارتفاع الهوائي (m);

: التردد (MHz).

β معلمة تأخذ في الاعتبار نمط الأرض والاستقطاب. وترتبط بالعامل K بواسطة الصيغة شبه التجريبية التالية:

$$(16) \quad \beta = \frac{1 + 1.6 K^2 + 0.67 K^4}{1 + 4.5 K^2 + 1.53 K^4}$$

ويمكن أن تؤخذ β على أنها مساوية للقيمة 1 بالنسبة إلى الاستقطاب الأفقي عند جميع الترددات، وبالنسبة إلى الاستقطاب الرأسي فوق 20 MHz على الأرض أو 300 MHz فوق البحر.

أما بالنسبة إلى الاستقطاب الرأسي تحت 20 MHz فوق الأرض أو 300 MHz فوق البحر، فيجب أن تُحسب β باعتبارها دالة لقيم K . غير أنه من الممكن عندئذ إهمال ϵ وكتابة:

$$(16) \quad K^2 \approx 6.89 \frac{\sigma}{k^{2/3} f^{5/3}}$$

حيث يُعبر عن σ بواسطة S/m ، و f (MHz) و k العامل المضاعف لنصف قطر الأرض.
ويعطى حد المسافة بواسطة الصيغة التالية:

$$(17) \quad F(X) = 11 + 10 \log(X) - 17.6 X \quad \text{for } X \geq 1.6$$

$$(17\text{ب}) \quad F(X) = -20 \log(X) - 5.6488X^{1.425} \quad \text{for } X < 1.6$$

ويعطى حد كسب الارتفاع $G(Y)$ بواسطة الصيغة التالية:

$$(18) \quad G(Y) \approx 17.6(B-1.1)^{1/2} - 5\log(B-1.1) - 8 \quad \text{for } B > 2$$

$$(18) \quad G(Y) \approx 20\log(B+0.1B^3) \quad \text{for } B \leq 2$$

If $G(Y) < 2 + 20\log K$, set $G(Y)$ to the value $2 + 20\log K$

حيث:

$$(18\text{ب}) \quad B = \beta Y$$

ودقة شدة المجال المنعطف المعطاة بالمعادلة (13) محدودة بالتقريب المتواصل في استعمال الحد الأول فقط من سلسلة أنصاف الأقطار. والمعادلة (13) تعتبر أكثر دقة لأكثر من 2 dB لقيم X و Y_1 و Y_2 التي تقيدتها المعادلة التالية:

$$(19) \quad X - (\beta Y_1)^{1/2} \Delta(Y_1, K) - (\beta Y_2)^{1/2} \Delta(Y_2, K) > X_{lim}$$

حيث:

$$(19) \quad X_{lim} = 1.096 - 1.280(1 - \beta)$$

$$(19\text{ب}) \quad \Delta(Y, K) = \Delta(Y, 0) + 1.779(1 - \beta)[\Delta(Y, \infty) - \Delta(Y, 0)]$$

وتعطى قيم $\Delta(Y, 0)$ و $\Delta(Y, \infty)$ كما يلي:

$$(19\text{ج}) \quad \Delta(Y, 0) = 0.5 \left[1 + \tanh \left(\frac{0.5 \log(\beta Y) - 0.255}{0.3} \right) \right]$$

$$(19\text{د}) \quad \Delta(Y, \infty) = 0.5 \left[1 + \tanh \left(\frac{0.5 \log(\beta Y) + 0.255}{0.25} \right) \right]$$

وعلى ذلك، فإن المسافة الدنيا d_{min} التي تسري عليها المعادلة (13) تعطى بالمعادلة:

$$(19\text{هـ}) \quad X_{min} = X_{lim} + (\beta Y_1)^{1/2} \Delta(Y_1, K) + (\beta Y_2)^{1/2} \Delta(Y_2, K)$$

ويتحصل على d_{min} من X_{min} باستعمال المعادلة (14).

2.1.3 الحساب بواسطة المخططات البيانية

يمكن أن نجري الحساب أيضاً في ظل نفس شروط التقرير (هيمنة الحد الأول من سلسلة البقايا) باستعمال الصيغة التالية:

$$(20) \quad 20 \log \frac{E}{E_0} = F(d) + H(h_1) + H(h_2) \quad \text{dB}$$

حيث:

E : شدة المجال المستقبل؛

E_0 : شدة المجال في الفضاء الحر عند نفس المسافة؛

d : المسافة بين طرفي المسير؛

h_1 و h_2 : ارتفاعاً الهوائيين فوق أرض كروية.

وتعطى الدالة F (تأثير المسافة) والدالة H (كسب الارتفاع) بواسطة المخططات البيانية التي تحتوي عليها الأشكال 3 و 4 و 5 و 6.

وتعطى هذه المخططات البيانية (الأشكال من 3 إلى 6) مباشرةً سوية الإشارة المستقبلة بالنسبة إلى الفضاء الحر، بالنسبة إلى $k = 1$ و $k = 4/3$ ، وبالنسبة إلى ترددات أعلى من 30 MHz تقريباً. و k عامل نصف قطر الأرض الفعال الذي يرد تعريفه في التوصية ITU-R P.310 إلى أنه يمكن حساب سوية الإشارة المستقبلة بالنسبة إلى قيم أخرى تخص k باستعمال سالم الترددات بالنسبة إلى $k = 1$ ، مع الاستعاضة عن التردد المعين بتردد افتراضي يساوي f/k^2 بالنسبة إلى الشكلين 3 و 5، و \sqrt{k}/f بالنسبة إلى الشكلين 4 و 6.

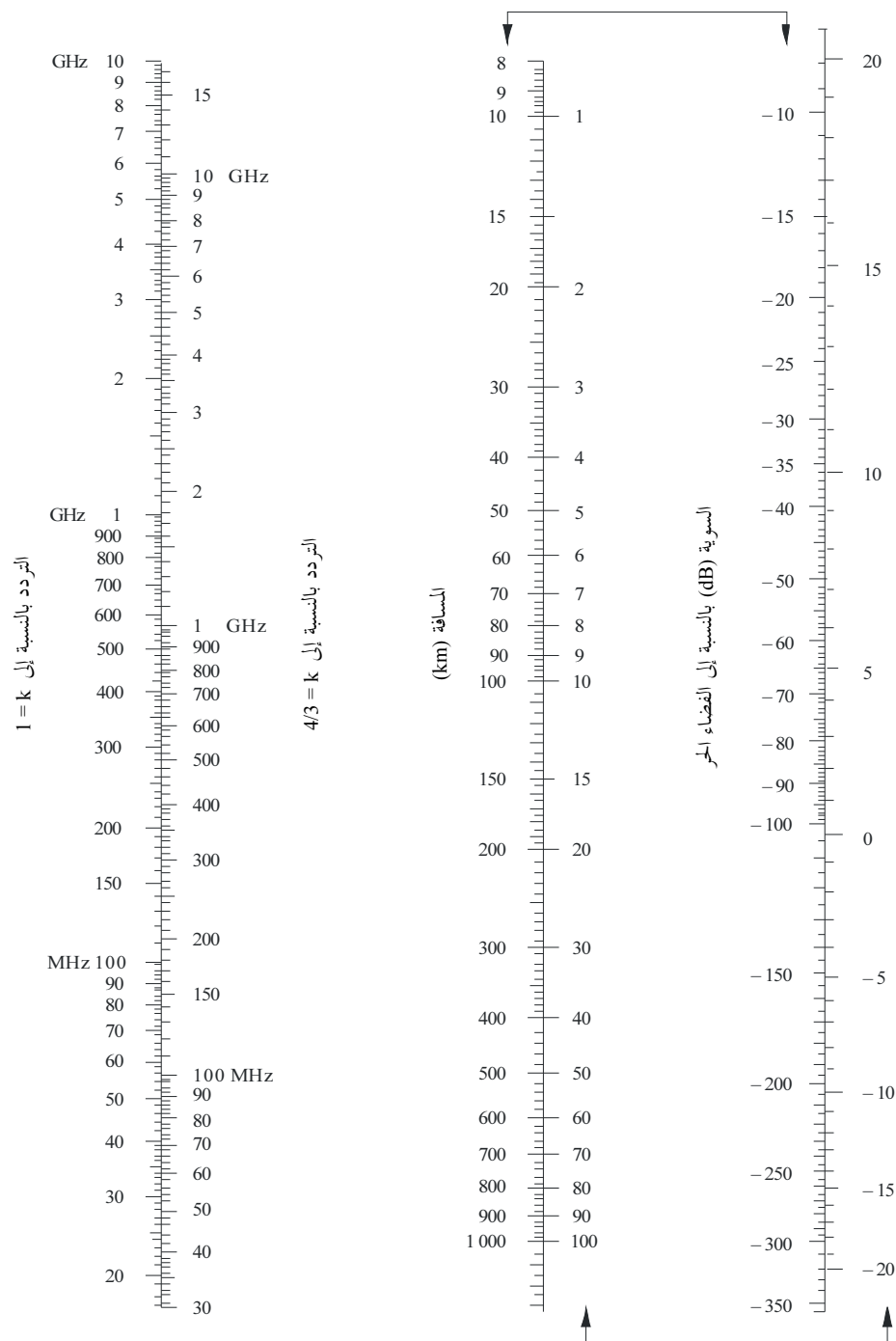
وبالقرب من الأرض، تكون شدة المجال مستقلة عملياً عن الارتفاع. وتكتسي هذه الظاهرة أهمية كبيرة بالنسبة إلى الاستقطاب الرأسي فوق البحر. ولهذا السبب، يتضمن الشكل 6، خط رأسياً AB غليظاً. فإذا تقاطع الخط المستقيم مع هذا الخط الغليظ AB، يجب أن يستعارض عن الارتفاع الحقيقي بقيمة أكبر بحيث يمس الخط المستقيم بالكاد أعلى خط الحد عند A.

الملاحظة 1 - يعطي التوهين بالنسبة إلى الفضاء الحر بقلب قيم المعادلة (20) إلى قيم سالبة. ولا تصح هذه الطريقة إذا أعطيت المعادلة (20) قيمة فرق شدة المجال في الفضاء الحر.

الملاحظة 2 - تأثير الخط AB مدرج في الطريقة العددية الواردة في الفقرة 1.1.3.

الشكل 3

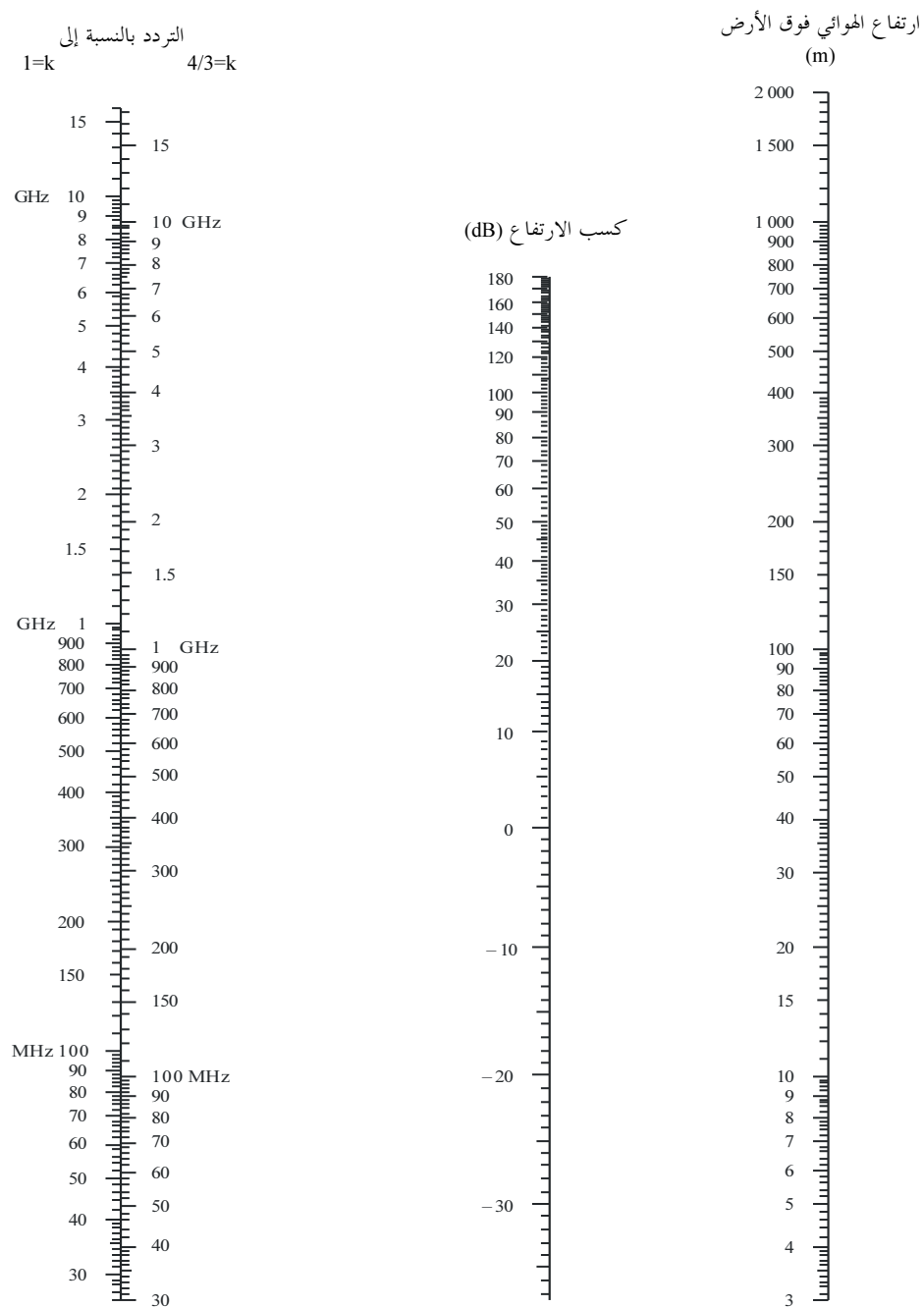
الانعراج فوق أرض كروية - تأثير المسافة



الاستقطاب الأفقي على الأرض وفوق البحر
الاستقطاب الرأسي على الأرض

(المقاييس الموسومة بأسهم ينبغي أن تستخدم معاً)

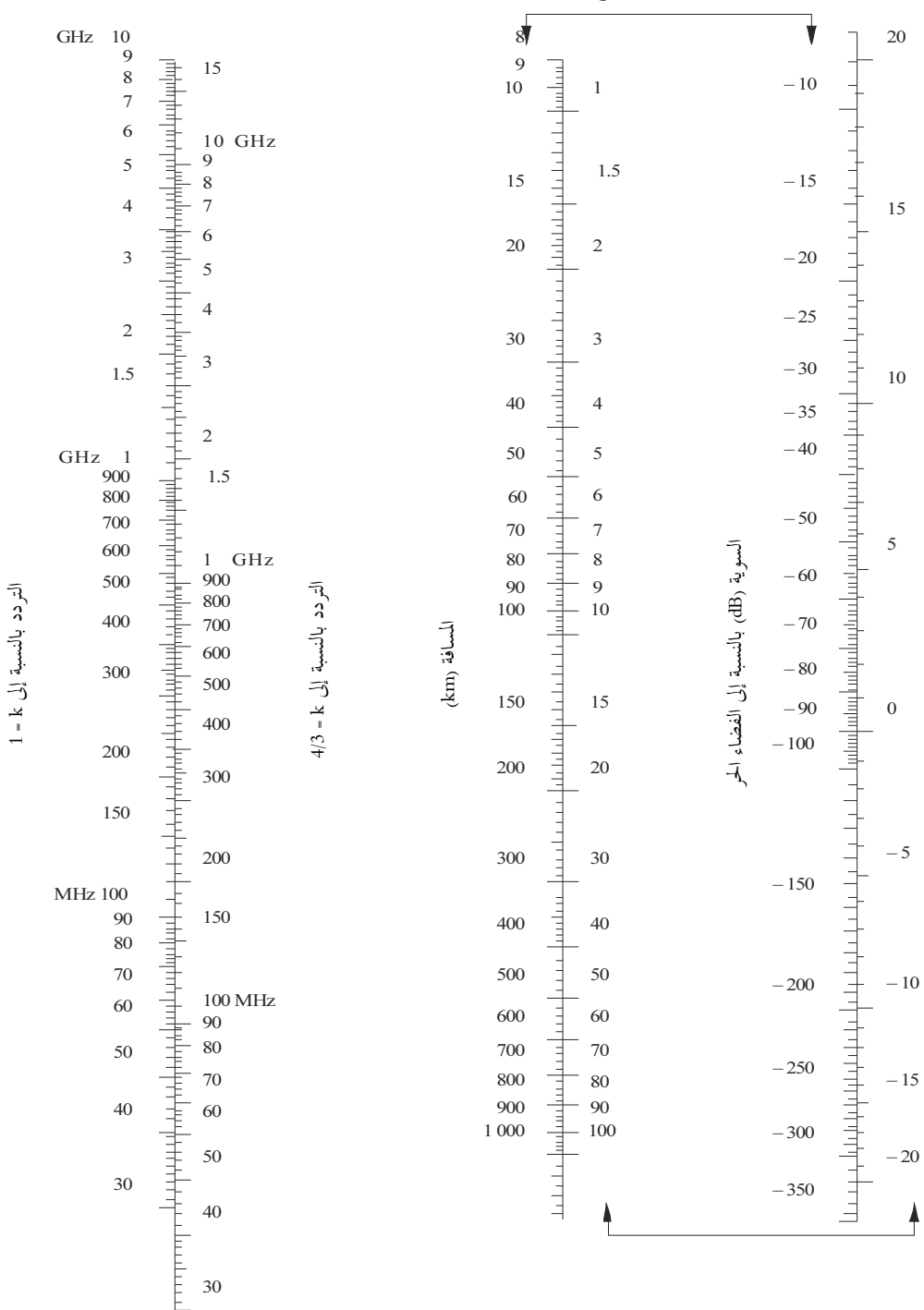
الشكل 4
الانعراج فوق أرض كروية - كسب الارتفاع



الاستقطاب الأفقي - الأرض والبحر
الاستقطاب الرأسي - الأرض

الشكل 5

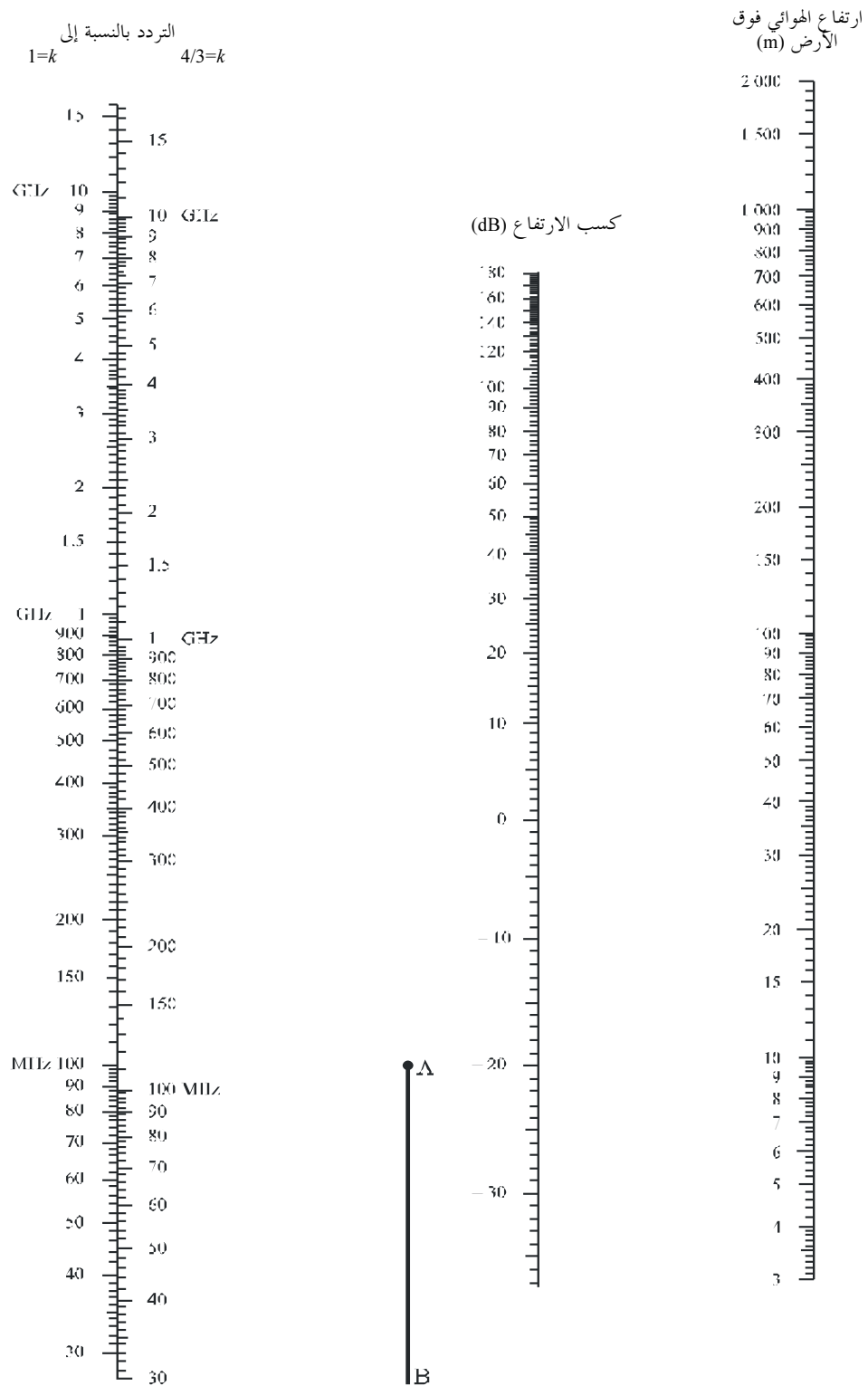
الانعراج فوق أرض كروية - تأثير المسافة



الاستقطاب الأفقي فوق البحر
(المقاييس الموسومة بأسمها ينبغي أن تستخدم معاً)

P.0526-05

الشكل 6
الانعراج فوق أرض كروية - كسب الارتفاع



الاستقطاب الرأسي - البحر

P.0526-06

2.3 خسارة الانتعاج بالنسبة لأي مسافة عند تردد 10 MHz فما فوق

ينبغي استخدام إجراء الخطوة-خطوة التالي لمسير أرضي كروي بأي طول عند ترددات تساوي أو تزيد عن 10 MHz. وُتُستعمل هذه الطريقة الحساب الوارد في الفقرة 1.1.3 حالات فوق خط الأفق، وخلاف ذلك، يستعمل إجراء استكمال داخلي يقوم على نصف قطر وطني فعال للأرض.

ويستعمل الإجراء وحدات متسقة ذاتياً ويتم على النحو التالي:

تحسب المسافة الهامشية على خط البصر من المعادلة:

$$(21) \quad d_{los} = \sqrt{2a_e} \left(\sqrt{h_1} + \sqrt{h_2} \right)$$

وإذا كانت $d \geq d_{los}$ ، تُحسب خسارة الانتعاج باستعمال الطريقة الواردة في الفقرة 1.1.3. لا توجد ضرورة لإجراء حسابات أخرى. وخلاف ذلك:

تحسب أقل قيمة في فرق الارتفاع بين المسير الأرضي المنحني والشعاع بين الموارين، h (انظر الشكل 7)، ويحصل على هذه القيمة من المعادلة:

$$(22) \quad h = \frac{\left(h_1 - \frac{d_1^2}{2a_e} \right) d_2 + \left(h_2 - \frac{d_2^2}{2a_e} \right) d_1}{d}$$

$$(22\text{ا}) \quad d_1 = \frac{d}{2} (1 + b)$$

$$(22\text{ب}) \quad d_2 = d - d_1$$

$$(22\text{ج}) \quad b = 2 \sqrt{\frac{m+1}{3m}} \cos \left\{ \frac{\pi}{3} + \frac{1}{3} \arccos \left(\frac{3c}{2} \sqrt{\frac{3m}{(m+1)^3}} \right) \right\}$$

$$(22\text{د}) \quad c = \frac{h_1 - h_2}{h_1 + h_2}$$

$$(22\text{هـ}) \quad m = \frac{d^2}{4a_e(h_1 + h_2)}$$

يُحسب فرق الارتفاع المطلوب لخسارة انتعاج مقدارها صفر، h_{req} ، من المعادلة:

$$(23) \quad h_{req} = 0.552 \sqrt{\frac{d_1 d_2 \lambda}{d}}$$

إذا كانت $h < h_{req}$ ، فإن خسارة الانتعاج للمسير تساوي صفرًا. ولا يحتاج الأمر إلى إجراء حسابات أخرى.

وخلال ذلك:

يُحسب نصف قطر الأرض الفعال المعدل، a_{em} ، والذي يعطي خط بصر هامشي عند المسافة d من المعادلة:

$$(24) \quad a_{em} = 0.5 \left(\frac{d}{\sqrt{h_1} + \sqrt{h_2}} \right)^2$$

وستعمل الطريقة الواردة في الفقرة 1.1.3 لحساب خسارة الانعراج للمسار باستعمال نصف قطر الأرض الفعال المعدل a_{em} بدلاً من نصف قطر الأرض الفعال، a_e ، ويرمز إلى هذه الخسارة بالرمز A_h .

إذا كانت A_h سالبة، فإن خسارة الانعراج للمسير تساوي صفرًا، ولا توجد ضرورة لإجراء مزيد من الحسابات.

أما خلاف ذلك، تُحسب خسارة الانعراج المستكملة داخلياً، A (dB) بالمعادلة:

$$(25) \quad A = [1 - h/h_{req}]A_h$$

الانعراج فوق عوائق معزولة أو مسیر أرضي عام

4

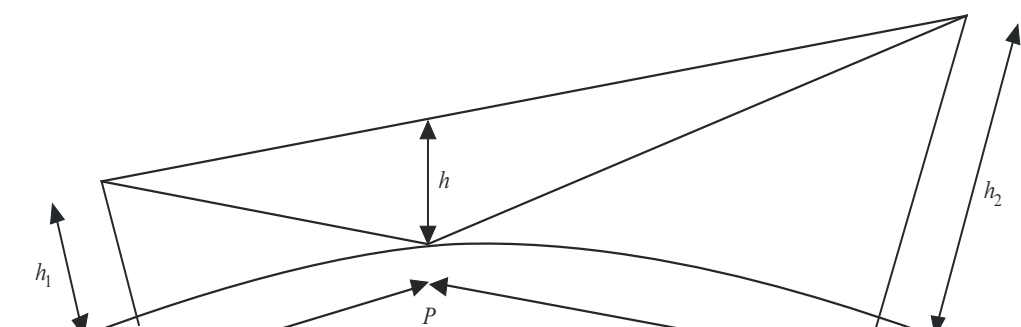
يواجه العديد من مسارات الانتشار عائقاً واحداً أو عدة عوائق منفصلة، ومن المفيد أن تقدر الخسائر التي تسببها هذه العوائق. وإن من الضروري لأداء هذه المسارات، معالجة أشكال العوائق بناء على نسق تحطيطي، سواء بافتراض عائق كحد السكين ذي ثمانة لا يعتمد بها أو عائق مدوار وأملس مع نصف قطر الخناه في الجزء الأعلى يحدد بدقة. وبالنظر إلى أن العائق الحقيقية تتحدد أشكالاً أكثر تعقيداً، يجب أن ينظر إلى البيانات التي ترد في هذه التوصية على أنها بيانات تقريبية فقط.

إن من الضروري في الحالات التي يكون فيها المسير المباشر بين مطاراتين أقصر بكثير من مسیر الانعراج، أن تتحسب خسارة الإرسال الإضافية العائدية إلى المسير الأطول.

وتنطبق المعطيات الواردة أدناه عندما يكون طول الموجة صغيراً جداً بالنسبة إلى حجم العائق أي بصفة أساسية ، بالنسبة إلى الموجات المترية (VHF) والموجات الأقصر ($f < 30$ MHz).

الشكل 7

خلوص المسير



P: نقطة الانعكاس

1.4 عائق وحيد كحد السكين

في هذه الحالة المثالية القصوى (الشكلان 8أ و8ب)، تتحدد جميع المعلمات الهندسية في معلمة واحدة بلا أبعاد يُرمز إليها عادة بواسطة v التي قد تتحدد مجموعة متنوعة من الأشكال المكافئة وفقاً للمعلمات الهندسية المختارة:

$$(26) \quad v = h \sqrt{\frac{2}{\lambda} \left(\frac{1}{d_1} + \frac{1}{d_2} \right)}$$

$$(27) \quad v = \theta \sqrt{\frac{2}{\lambda} \left(\frac{1}{d_1} + \frac{1}{d_2} \right)}$$

$$(28) \quad v = \sqrt{\frac{2 h \theta}{\lambda}} \quad (v \text{ has the sign of } h \text{ and } \theta)$$

$$(29) \quad v = \sqrt{\frac{2 d}{\lambda} \cdot \alpha_1 \alpha_2} \quad (v \text{ has the sign of } \alpha_1 \text{ and } \alpha_2)$$

حيث:

h : ارتفاع قمة العائق فوق خط مستقيم يربط بين طرفي المسير. فإذا كان الارتفاع تحت هذا الخط، تكون h سالبة؛

d_1 و d_2 : مسافتا طرفي المسير عند قمة العائق؛

d : طول المسير؛

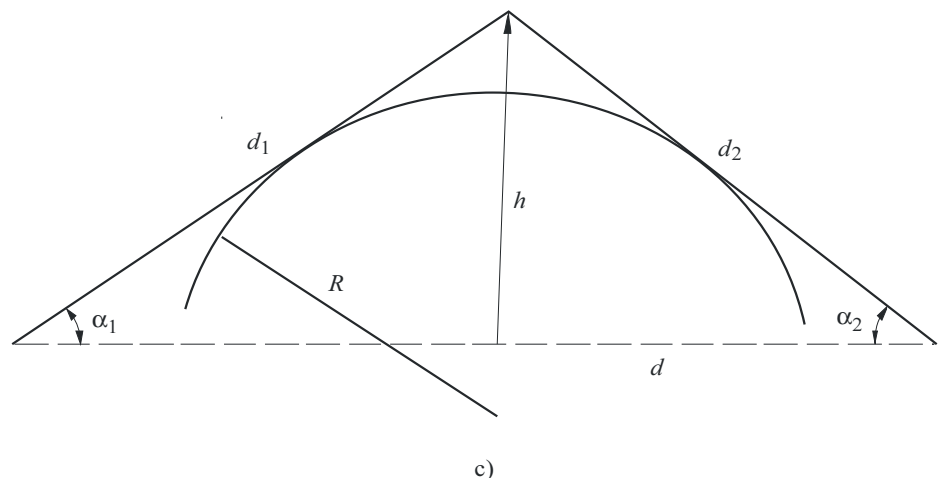
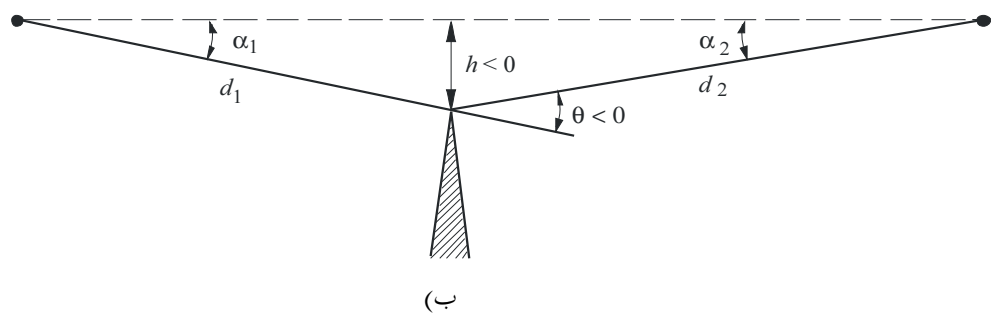
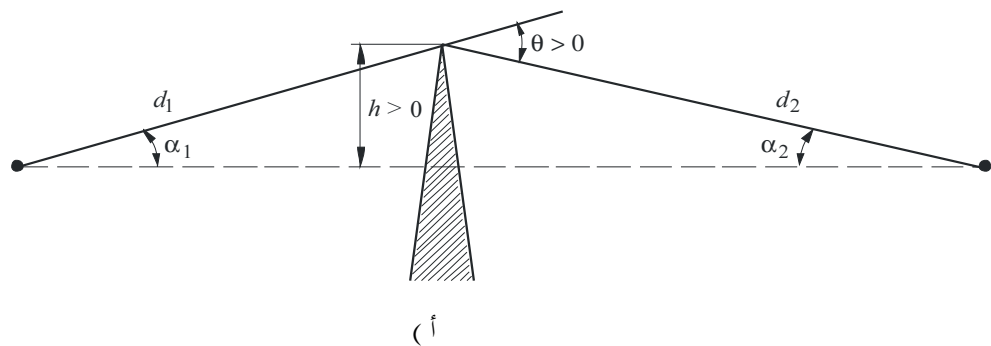
θ : زاوية الانعراج (rad); علامتها هي نفس علامة h . ويفترض في الزاوية θ أن تكون أقل من 0,2 rad أو 12° تقريباً؛

α_1 و α_2 : الزاويتان بوحدة رadians بين قمة العائق وأحد الطرفين كما ينظر إليه من الطرف الآخر. α_1 و α_2 هما نفس علامة h في المعادلات أعلاه.

الملاحظة 1 - يجب أن يعبر بوحدات متسقة عن h و d و d_1 و d_2 و λ في المعادلات من (26) إلى (29).

الشكل 8

عناصر هندسية

(بالنسبة إلى تعاريف $\theta, \alpha_1, \alpha_2, R, d_1, d_2, d, h$ ، راجع الفقرتين 1.4 و 2.4)

يعطى الشكل 9 بوصفه دالة لقيمة v الخسارة $J(v)$ (dB).

وتعطى $J(v)$ بواسطة:

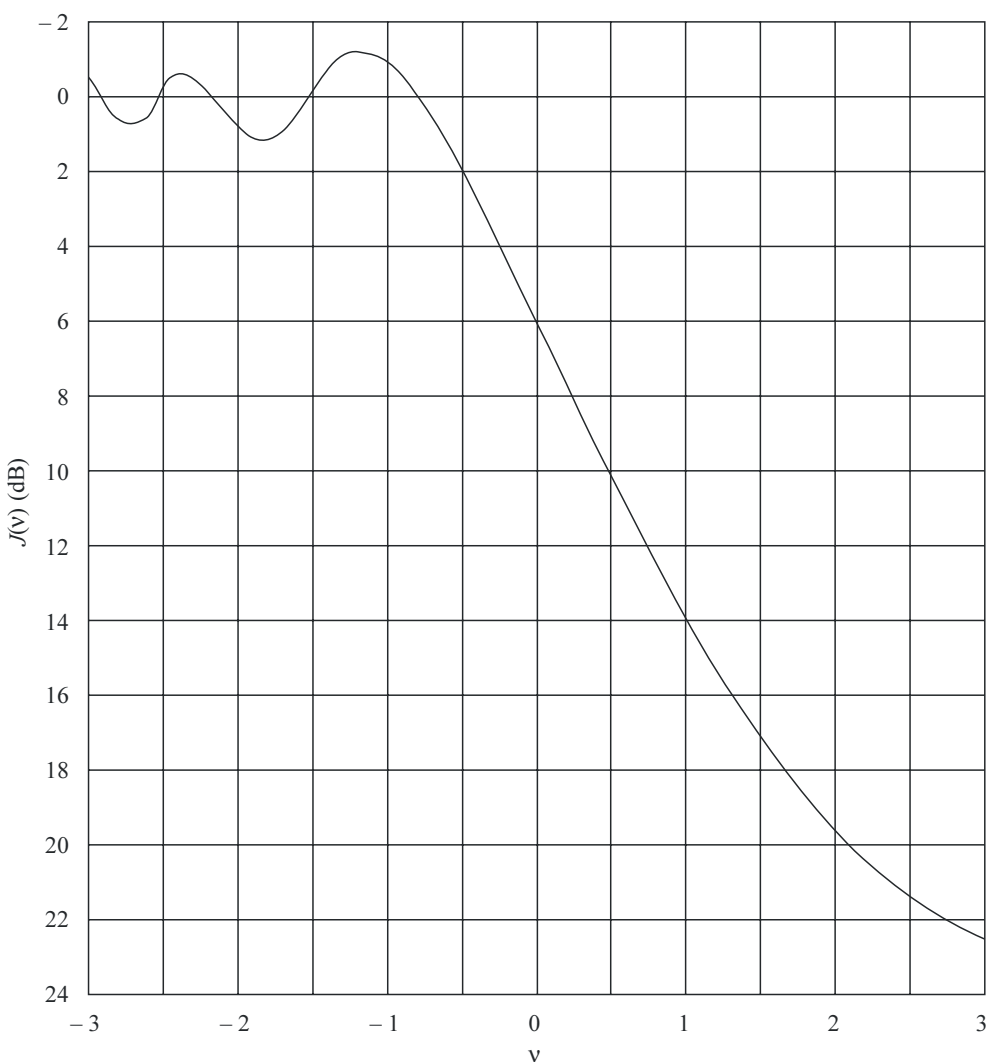
$$(30) \quad J(v) = -20 \log \left(\frac{\sqrt{[1 - C(v) - S(v)]^2 + [C(v) - S(v)]^2}}{2} \right)$$

حيث $C(v)$ الجزء الحقيقي و $S(v)$ الجزءخيالي من تكاملية فرينيل المركبة $F(v)$ التي ورد تعريفها في الفقرة 7.2 وبالنسبة إلى v أكبر من $-0,78$, يمكن الحصول على قيمة تقريرية انطلاقاً من الصيغة التالية:

$$(31) \quad J(v) = 6.9 + 20 \log \left(\sqrt{(v - 0.1)^2 + 1} + v - 0.1 \right) \quad \text{dB}$$

الشكل 9

خسارة انبعاث على حافة كحد السكين



2.4 عائق مدور وحيد

يوضح الشكل 8c هندسة عائق مدور لنصف القطر R . وجدير باللحظة أن المسافتين d_1 و d_2 والارتفاع h فوق الخط الأساسي يُقاس جمِيعاً بالنسبة إلى القمة حيث تتقاطع الأشعة المُسقطة فوق العائق. ويمكن حساب خسارة الانبعاث بالنسبة إلى هذه الهندسة على النحو التالي:

$$(32) \quad A = J(v) + T(m, n) \quad \text{dB}$$

حيث:

(أ) $J(v)$ خسارة Fresnel-Kirchhoff العائدية إلى حافة كحد السكين مكافئة توضع على نحو تكون فيه ذروتها عند نقطة القمة. ويمكن تقسيم المعلمة v بلا أبعاد انتلاقاً من أي معادلة من المعادلات (26) إلى (29). ويمكن أن تكتب المعادلة (26)، على سبيل المثال، في وحدات عملية على النحو التالي:

$$(33) \quad v = 0,0316h \left[\frac{2(d_1 + d_2)}{\lambda d_1 d_2} \right]^{1/2}$$

حيث يُقاس h و λ بالأمتار و d_1 و d_2 بالكميلومترات.

ويمكن الحصول على $J(v)$ من الشكل 9 أو من المعادلة (31). مع الإشارة إلى أنه في حالة وجود عائق يحجب الانتشار في خط البصر، تكون v موجبة، والمعادلة (31) صحيحة.

(ب) التوهين الإضافي العائد إلى الانبعاث العائق:

$$(34) \quad T(m, n) = 7.2m^{1/2} - (2 - 12.5n)m + 3.6m^{3/2} - 0.8m^2 \quad \text{dB} \quad \text{for } mn \leq 4$$

$$(34\text{ب}) \quad T(m, n) = -6 - 20 \log(mn) + 7.2m^{1/2} - (2 - 17n)m + 3.6m^{3/2} - 0.8m^2 \quad \text{dB} \quad \text{for } mn > 4$$

و

$$(35) \quad m = R \left[\frac{d_1 + d_2}{d_1 d_2} \right] / \left[\frac{\pi R}{\lambda} \right]^{1/3}$$

$$(36) \quad n = h \left[\frac{\pi R}{\lambda} \right]^{2/3} / R$$

و R و d_1 و d_2 و h و λ في وحدات متسقة.

مع الإشارة إلى أنه عندما ت نحو R نحو الصفر، وكذلك $T(m, n)$ ، تصبح المعادلة (32) انبعاث حافة كحد السكين بالنسبة إلى إسطوانة يبلغ نصف قطرها صفرًا.

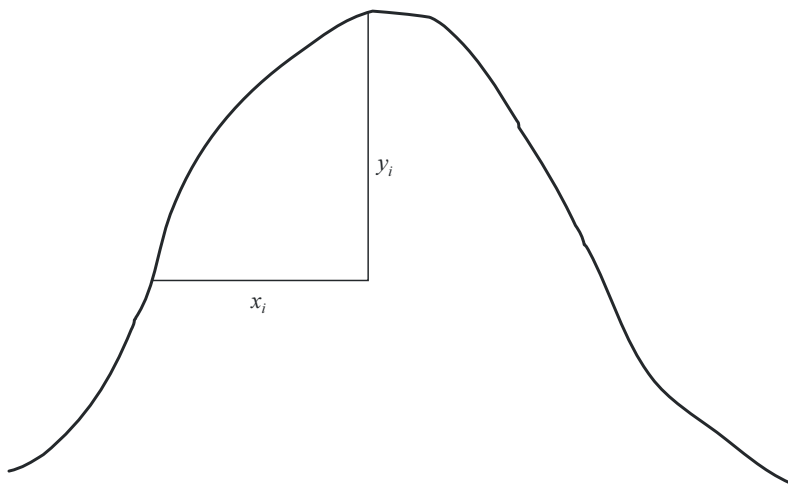
يتطابق نصف قطر عائق الانبعاث مع نصف قطر الانبعاث عند قمة القطع المكافئ الذي يتلاعُم مع المظهر الجانبي للعائق قرب القمة. وفي حالة ملائمة القطع المكافئ، يجب أن تكون المسافة العمودية القصوى من القمة التي يتعين استعمالها في هذا الإجراء من رتبة نصف قطر منطقة فرينل الأولى حيث يوجد مكان العائق. ويحتوي الشكل 10 على مثال على هذا الإجراء، حيث:

$$(37) \quad y_i = \frac{x_i^2}{2r_i}$$

و r نصف قطر الانحناء الذي يتطابق مع العينة i للمظهر الجانبي الرأسي لقمة التل. ويعطى متوسط نصف قطر الانحناء العائق، في حالة العينات N ، بواسطة:

$$(38) \quad r = \frac{1}{N} \sum_{i=1}^N \frac{x_i^2}{2y_i}$$

الشكل 10
المظهر الجانبي الرأسي للعائق



P.0526-10

3.4 حافتان معزولتان

تتمثل هذه الطريقة في تطبيق نظرية انعراج حافة وحيدة كحد السكين على العائقين على التوالي، وتعمل قمة العائق الأول كمصدر للانعراج على العائق الثاني (انظر الشكل 11). ويعطي مسیر الانعراج الأول الذي تحدده المسافتان a و b والارتفاع h'_1 ، الخسارة L_1 (dB). ويعطي مسیر الانعراج الثاني الذي تحدده المسافتان b و c والارتفاع h'_2 ، الخسارة L_2 (dB). وتحسب L_1 و L_2 بواسطة الصيغة التي ترد في الفقرة 1.4. ويجب أن تضاف عبارة تصحيح L_c (dB) لكي يؤخذ في الحسبان الفصل b بين الحافتين. ويمكن تقدير L_c بواسطة الصيغة التالية:

$$(39) \quad L_c = 10 \log \left[\frac{(a+b)(b+c)}{b(a+b+c)} \right]$$

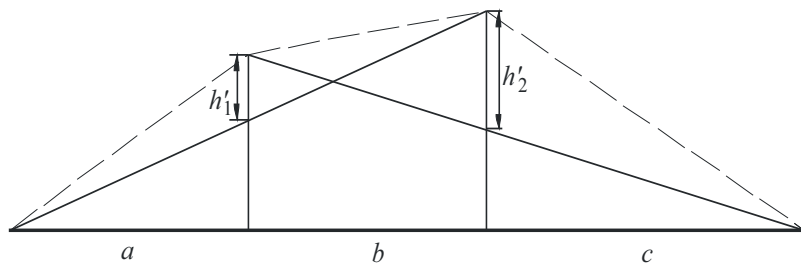
التي تصح عندما يتجاوز كل من L_1 و L_2 ، القيمة 15 dB تقريباً. وتعطى وبالتالي خسارة الانعراج الكلية بواسطة:

$$(40) \quad L = L_1 + L_2 + L_c$$

وتعتبر الطريقة الواردة أعلاه مفيدة بصفة خاصة في الحالة التي تعطي فيها الحافتان خسائر مماثلة.

الشكل 11

طريقة الحافتين المعلولتين

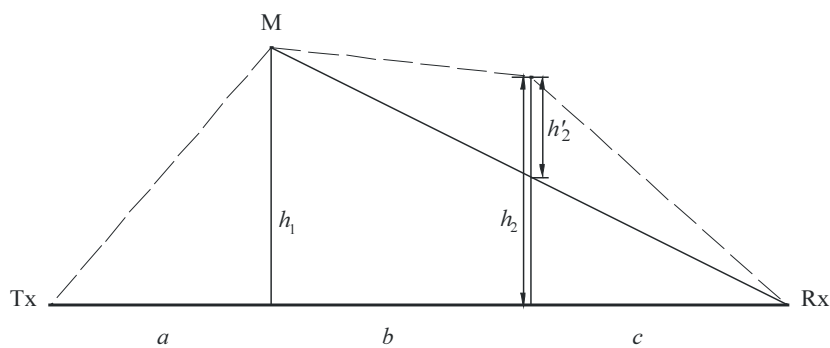


P.0526-11

وإذا كانت إحدى الحافتين أعلى من الأخرى (انظر الشكل 12)، يحدد مسیر الانعراج الأول بواسطة المسافتين a و c والارتفاع h_1 . ويحدد مسیر الانعراج الثاني بواسطة المسافتين b و c والارتفاع h_2' .

الشكل 12

العائق الرئيسي والعائق الثانوي



P.0526-12

تتمثل هذه الطريقة في تطبيق نظرية انعراج حافة وحيدة كحد السكين على العائقين على التوالي. أولاً، تحدد النسبة h/r للعائق الرئيسي، M ، حيث h ارتفاع الحافة انطلاقاً من المسير المباشر $TxRx$ مثلما يتضح في الشكل 12، و r نصف قطر الجسم الإهليجي الأول لفريلن الذي تعطيه المعادلة (2). ثم تُستعمل h_2' ، (ارتفاع العائق الثانوي انطلاقاً من المسير الفرعي MR) لحساب الخسارة التي يسببها هذا العائق الثانوي. ويجب حذف عبارة تصحيح T_c (dB)، حتى يؤخذ في الحسبان المسافة بين الحافتين وكذلك ارتفاعهما. ويمكن تقدير T_c (dB) بواسطة الصيغة التالية:

$$(41) \quad T_c = \left[12 - 20 \log_{10} \left(\frac{2}{1 - \frac{a}{\pi}} \right) \right] \left(\frac{q}{p} \right)^{2p}$$

و كذلك:

$$(42) \quad p = \left[\frac{2}{\lambda} \frac{(a+b+c)}{(b+c)a} \right]^{1/2} h_1$$

$$(42) \quad q = \left[\frac{2}{\lambda} \frac{(a+b+c)}{(a+b)c} \right]^{1/2} h_2$$

$$(42) \quad \tan \alpha = \left[\frac{b(a+b+c)}{ac} \right]^{1/2}$$

h_1 و h_2 ارتفاعاً الحافتين من المسير المباشر مرسل - مستقبل.

وُعطى خسارة الانعراج الكلية بواسطة:

$$(43) \quad L = L_1 + L_2 - T_c$$

ويمكن تطبيق الطريقة نفسها في حالة العوائق المدوربة باستعمال الطريقة الواردة في الفقرة 3.4.

وفي الحالات التي يمكن فيها التعرف بوضوح على عائق الانعراج كمبني ذي سقف مسطح، لا يكون التقرير بواسطة حافة وحيدة كحد السكين كافياً. ومن الضروري حساب مجموع المطاورة للمكونتين: إحداها تتعرض إلى انعراج مزدوج بحافتين كحد السكين، والأخرى إلى انعكاس إضافي من سطح السقف. وقد تبين في الحالة التي لا تعرف فيها انعكاسية سطح السقف وأي فرق في الارتفاع بين سطح السقف والحدران الجانبية معرفة دقيقة، أن غواص الحافتين كحد السكين يؤدي إلى التنبؤ بشدة المجال المنعرجة تنبؤاً حسناً، مع تحاول المكونة المنعكسة.

4.4 أسطوانات معزولة متعددة

يُوصى بهذه الطريقة فيما يتعلق بتقدير خسارة الانعراج على تضاريس أرضية غير منتظمة تكون عائقاً واحداً أو أكثر للانتشار في خط البصر حيث يمكن تمثيل كل عائق بواسطة إسطوانة يساوي نصف قطرها نصف قطر الانثناء عند قمة العائق، يُوصى بها في حالة تيسّر المظهر الجانبي الرأسي التفصيلي عبر قمة التل.

ويجب أن يتيسّر المظهر الجانبي لارتفاع التضاريس الأرضية في شكل مجموعة من عينات ارتفاع الأرض فوق مستوى سطح البحر، حيث تمثل العينة الأولى والأخيرة ارتفاع كل من المرسل والمستقبل فوق مستوى سطح البحر. وينبغي أن يؤخذ تدرج الانكسارية للغلاف الجوي بالحساب عبر مفهوم نصف قطر الأرض الفعال. وتوصف قيم المسافة والارتفاع في شكل صفيحة تحمل رموزاً من 1 إلى N ، حيث تساوي N عدد عينات المظهر الجانبي.

وفيمما يلي، تُستخدم "المبادئ التالية" بصفة منتظمة:

h_i : ارتفاع فوق مستوى سطح البحر للنقطة $i-th$ ؛

d_i : المسافة بين المرسل والنقطة $i-th$ ؛

d_{ij} : المسافة من النقطة $i-th$ إلى النقطة $j-th$.

تتمثل المرحلة الأولى في أداء تحليل "السلسلة الممددة" للمظهر الجانبي. وهو ما يسمح بالتعرف على نقاط العينة التي يمكن أن تتماس مع سلسلة متعددة فوق المظهر الجانبي من المرسل إلى المستقبل. ويمكن القيام بهذا الأمر بواسطة الإجراء الآتي، الذي تكون فيه جميع قيم الارتفاع والمسافة في وحدات متسقة، وتقاس جميع الزوايا بواسطة وحدة الرadian. وتشمل الطريقة

تقريريات تصح بالنسبة إلى مسارات راديوية مكونة زوايا صغيرة بالنسبة إلى الخط الأفقي. وإذا كان للمسير تدرجات شعاعية تتجاوز حوالي 5° ، فقد يقتضي الأمر هندسة أكثر دقة.

ويتم التعرف على كل نقطة من نقاط السلسلة بوصفها نقطة المظهر الجانبي ذات الارتفاع الزاوي الأعلى فوق الأفق المحلي منظوراً إليها من نقطة السلسلة السابقة، ابتداء من أحد طرفي المظهر الجانبي وانتهاء بالطرف الآخر. ويعطى ارتفاع عينة المظهر الجانبي $i-th$ (s_i)، منظوراً إليها من النقطة s ، بواسطة:

$$(44) \quad e = [(h_i - h_s) / d_{si}] - [d_{si} / 2a_e]$$

حيث:

a_e : نصف قطر الأرض الفعال، يعطى بواسطة:

$$k \times 6371 \text{ (km)} =$$

و

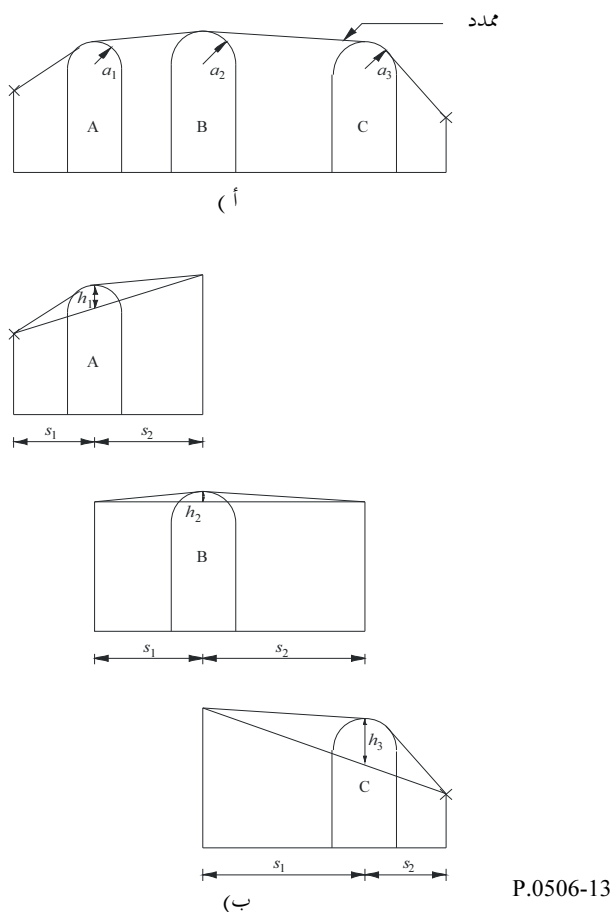
k : عامل نصف قطر الأرض الفعال.

ويُطبق الآن اختبار لتحديد ما إذا كان يجب أن تمثل أية مجموعة تتكون من نقطتي سلسلة أو أكثر نفس العائق الأرضي. وبالنسبة إلى العينات التي تبلغ المباعدة بينها 250 m أو أقل، يجب أن تعامل أية مجموعة من نقاط السلسلة التي تمثل عينات متعاقبة للمظهر الجانبي، بخلاف المرسل أو المستقبل، كعائق واحد.

وقد قمت الآن بمذكرة كل عائق في شكل إسطوانة (انظر الشكل 13). وتتطابق هندسة كل واحد من الأسطوانات مع الشكل 8 ج. مع الإشارة إلى أن المسافتين s_1 و s_2 ، في الشكل 13 بالنسبة إلى كل واحدة من الأسطوانات تظهران مقاستين أفقياً بين نقاط القمة، وأن هذه المسافات تقارب، بالنسبة إلى الأشعة الأفقية القريبة، مسافتاً الميل d_1 و d_2 في الشكل 8 ج. وقد يكون من الضروري بالنسبة إلى زوايا الأشعة بالنسبة إلى أفق أكبر من حوالي 5° تقريراً، أن تحدد s_1 و s_2 عند مسافتاً ميل ما بين القمة، d_1 و d_2 .

الشكل 13

نموذج الأسطوانات المتسلسلة أ) المشكّلة الإجمالية، ب) التفاصيل



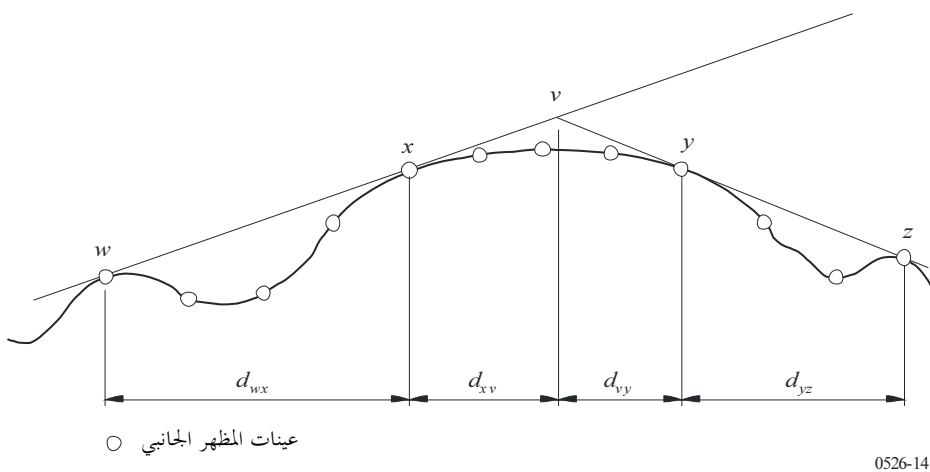
مثلاً هو الحال في الشكل 13، يظهر ارتفاع h لكل واحدة من الأسطوانات مقاساً عمودياً انطلاقاً من القمة نزولاً إلى الخط المستقيم الذي يربط بين القمة المجاورة أو النقط المطرافية. وتطابق قيمة h بالنسبة إلى كل إسطوانة مع h في الشكل 8 ج. ويمكن مرة أخرى بالنسبة إلى الأشعة الأفقية القريبة، أن تحسب ارتفاعات الإسطوانة على نحو عمودي، ولكن بالنسبة إلى زوايا أشعة شديدة الانحدار، من الضروري حساب h عند الروايا الصحيحة بالنسبة إلى الخط الأساسي للأسطوانة.

ويوضح الشكل 14 هندسة عائق يتكون من أكثر من نقطة سلسة. ويشار إلى النقاط التالية بواسطة:

- w: نقطة السلسلة الأقرب أو المطراف على جانب مرسل العائق الذي لا يمثل جزءاً من العائق؛
- x: نقطة السلسلة التي تكون جزء العائق الأقرب إلى المرسل؛
- y: نقطة السلسلة التي تكون جزء العائق الأقرب إلى المستقبل؛
- z: نقطة السلسلة الأقرب أو المطراف على جانب مستقبل العائق الذي لا يمثل جزءاً من العائق؛
- v: نقطة القمة التي يتم الحصول عليها بواسطة التقاطع بين الأشعة الساقطة فوق العائق.

الشكل 14

هندسة عائق متعدد النقاط



وستكون الأحرف w و x و y و z أيضاً رمزاً لصفائف مسافة المظهر الجانبي وعيّنات الارتفاع. وبالنسبة إلى عائق يتكون من نقطة سلسلة معزولة، سيكون لكل من x و y نفس القيمة وسيشيران إلى نقطة مظهر جانبي تتطابق مع القمة. ويلاحظ في حالة الأسطوانات المتسلسلة، أن النقطتين y و z بالنسبة إلى إسطوانة واحدة هما نقطتا w و x بالنسبة إلى إسطوانة التي تليها، إلخ.

ويرد في التذيل 1 وصف طريقة التدرج لتواؤم الأسطوانات مع المظهر الجانبي العام للتضاريس الأرضية. ويتميز كل عائق بواسطة w و x و y و z . وتستعمل بالتالي الطريقة الواردة في التذيل 1 للحصول على معلمات الأسطوانات s_1 و s_2 و R . ونظراً إلى أن نمذجة المظهر الجانبي أُعدت على هذا النحو، تُحسب خسارة الانتعاج بالنسبة إلى المسير كمجموع ثلاثة حدود:

- مجموع خسائر الانتعاج على الأسطوانات؛
- مجموع انتعاج المسير الفرعي بين الأسطوانات (وين الأسطوانات والمطارات المجاورة)؛
- عبارة التصحيح.

ويمكن كتابة خسارة الانتعاج الكلية، dB، بالنسبة إلى خسارة الفضاء الحر، كما يلي:

$$(45) \quad L_d = \sum_{i=1}^N L'_i + L''(wx)_i + \sum_{i=1}^N L''(yz)_i - 20 \log C_N \quad \text{dB}$$

حيث:

L'_i : خسارة الانتعاج على الإسطوانة i -th المحسوبة بواسطة الطريقة الواردة في الفقرة 2.4

$L''(wx)_i$: خسارة انتعاج المسير الفرعي بالنسبة إلى جزء المسير بين النقطتين w و x بالنسبة إلى الإسطوانة الأولى؛

$L''(yz)_i$: خسارة انتعاج المسير الفرعي بالنسبة إلى جزء المسير بين النقطتين y و z بالنسبة إلى جميع الأسطوانات؛

C_N : عامل التصحيح الذي يستخدم في حالة خسارة الانتشار التي تعزى إلى الانتعاج على الأسطوانات المتالية.

ويحتوي التذيل 2 للملحق 1 على طريقة لحساب L بالنسبة إلى كل أجزاء خط البصر للمسير بين العوائق.

ويُحسب عامل التصحیح، C_N ، بواسطه:

$$(46) \quad C_N = (P_a / P_b)^{0.5}$$

حيث:

$$(47) \quad P_a = s_1 \prod_{i=1}^N [(s_2)_i] \left(s_1 + j \sum_{j=1}^N [(s_2)_j] \right)$$

$$(48) \quad P_b = (s_1)_1 (s_2)_N \prod_{i=1}^N [(s_1)_i + (s_2)_i]$$

وتشير الأقواس الدائرية إلى أسطوانات فردية.

5.4 نموذج للمسير الأرضي العام

يوصى بهذه الطريقة من أجل الحالات التي تتطلب عملية تلقائية لتوقع خسارة الانتعاج في أي نوع من المسيرات على النحو المحدد في مظهر جانبي سواء كانت على خط البصر أو عابرة للأفق وسواء كانت التضاريس وعرة أو ملساء. ويستند هذا النموذج إلى بناء بولينغتون (Bullington)، ولكنه يستفيد أيضاً من نموذج الانتعاج فوق أرض كروية على النحو الموضح في الفقرة 2.3. ويندمج هذه النماذج بحيث تكون النتيجة لمسير أملس تماماً هي نفسها لنموذج الأرض الكروية.

ويجب وصف المسير بمظهر جانبي يتكون من عينات من ارتفاع التضاريس بالأمتار فوق مستوى سطح البحر لسلسلة من المسافات بين مطraf وآخر. وبخلاف المظهر الجانبي المطلوب في الفقرة 4.4 يجب على النقطتين الأولى والأخيرة في هذا المظهر الجانبي، (d_1, h_1) و (d_n, h_n) ، أن تعطيان ارتفاع التضاريس تحت الهوائيين، ويجب تقديم علو الهوائيين فوق سطح الأرض بشكل منفصل.

وفي هذا النموذج، لا يُطلب تساوي تباعد نقاط المظهر الجانبي. ومع ذلك، فمن المهم ألا يكون البعد الأقصى بين النقاط كبيراً مقارنة مع تباعد عينة البيانات الطبوغرافية التي تستخرج منها. ومن غير المستحسن بوجه خاص تمثيل مقطع ذي ارتفاع ثابت من المظهر الجانبي كسطح مائلي بخطتين أولى وأخيرة يفصلهما طول مقطع مستوى من المسير. ولا يؤدي هذا النموذج استكمالاً داخلياً بين نقاط المظهر الجانبي، ونظراً لأنباء الأرض عبر مسافة كبيرة بين نقاط المظهر الجانبي، فإن استواء المظهر الجانبي يعني يمكن أن يتسبب بأخطاء كبيرة.

وحيثما يصادف وجود منشآت حضرية أو غطاء نباتي على طول المظهر الجانبي، تُحسّن الدقة عادة بإضافة ارتفاعات متباينة تمثل الوضع إلى مرفعات تضاريس الأرض الحمراء. وينبغي عدم القيام بذلك في الواقع الطرفي (النقطتان الأولى والأخيرة في المظهر الجانبي) وينبغي توخي الحرص على مقدرة من المطارات للتأكد من أن إضافة مرفعات غطائية لا تسبب زيادة غير واقعية في زوايا الارتفاع عن الأفق كما يراها كل هوائي. وإذا كان المطraf في منطقة ذات غطاء أرض تحت ارتفاع الغطاء الممثل، قد يكون من الأفضل رفع المطraf إلى ارتفاع الغطاء لتطبيق هذا النموذج، واستخدام تصحيح منفصل لكتاب الارتفاع يكتسب الخسارة الإضافية التي يتکبدتها المطraf في الواقع في موضعه الفعلي (الأدن).

وينبغي أن تستخدم هذه الطريقة عند عدم توفر معلومات مسبقة عن طبيعة مسیر الانتشار أو عوائق التضاريس المحتملة. وهذا ما درجت عليه العادة عند استخدام برنامج حاسوبي للمظاهر الجانبية المختارة من قاعدة بيانات ارتفاع التضاريس على أساس تلقائي بالكامل دون تفقد فردي لخصائص المسير. وتعطي هذه الطريقة نتائج يمكن الاعتماد عليها لجميع أنواع المسيرات على خط البصر أو العابرة للأفق، وسواء كانت التضاريس وعرة أو ملساء، أو فوق البحر أو مسطحات مائية واسعة.

وتحتوي الطريقة على اثنين من النماذج الفرعية:

أ) طريقة انتعاج بولينغتون المستخدمة مع تصحيح مدرب لتوفير انتقال سلس بين خط البصر و خط عبر الأفق؛

ب) طريقة الأرض الكروية الواردة في الفقرة 2.3.

ويُستخدم جزء بولينغتون من هذه الطريقة مرتين. ويرد في الفقرة الفرعية التالية وصف عام لحساب بولينغتون.

1.5.4 نوذج بولينغتن

في المعادلات التالية، تُحسب المنحدرات بوحدة m/km نسبة إلى خط الأساس الواصل لمستوى سطح البحر عند المرسل. مستوى سطح البحر عند المستقبل. وتكون المسافة والارتفاع للنقطة ذات الترتيب ذات $i-th$ في المظهر الجانبي d_i و h_i km فوق h_{rs} km حيث n هو عدد نقاط المظهر الجانبي والطول الكامل للمسير هو d km. وتسهيلًا للعمل، يشار إلى المطرافين في بداية ونهاية المظهر الجانبي كمرسل ومستقبل بارتفاعين بالأمتار فوق مستوى سطح البحر h_{rs} و h_{ls} على التوالي. ويعطى انحناء الأرض الفعال، C_e km⁻¹، بالكسر $1/r_e$ حيث r_e هو نصف قطر الأرض الفعال بالكيلومترات. ويمثل طول الموجة بالأمتار بالرمز λ .
إيجاد النقطة الوسيطة في المظهر الجانبي ذات أعلى ميل للخط من المرسل إلى النقطة.

$$(49) \quad S_{tim} = \max \left[\frac{h_i + 500C_e d_i (d - d_i) - h_{ls}}{d_i} \right] \text{ m/km}$$

حيث يتخذ مؤشر المظهر الجانبي n قيمًا تترواح بين 2 و 1.

ويُحسب ميل الخط من المرسل إلى المستقبل بافتراض مسیر على خط البصر:

$$(50) \quad S_{tr} = \frac{h_{rs} - h_{ls}}{d} \text{ m/km}$$

ويجب الآن أن تؤخذ حالتان بعين الاعتبار.

الحالة 1. المسير هو على خط البصر

في حال $S_{tr} < S_{tim}$ ، يكون المسير على خط البصر.

إيجاد النقطة الوسيطة في المظهر الجانبي ذات أعلى معلمة انعراج v :

$$(51) \quad v_{\max} = \max \left\{ \left[h_i + 500C_e d_i (d - d_i) - \frac{h_{ls}(d - d_i) + h_{rs}d_i}{d} \right] \sqrt{\frac{0.002d}{\lambda d_i(d - d_i)}} \right\}$$

حيث يتخذ مؤشر المظهر الجانبي n قيمًا تترواح بين 2 و 1.

وفي هذه الحالة، تُعطى خسارة حد السكين لنقطة بولينغتن كما يلي:

$$(52) \quad L_{uc} = J(v_{\max}) \text{ dB}$$

حيث تُعطى الدالة J بالمعادلة (31) من أجل v_b أكبر من -0,78، وتكون صفرًا خلاف ذلك.

الحالة 2. المسير عبر الأفق

في حال $S_{tr} \geq S_{tim}$ ، يكون المسير عبر الأفق.

إيجاد النقطة الوسيطة في المظهر الجانبي ذات أعلى ميل للخط من المستقبل إلى النقطة.

$$(53) \quad S_{rim} = \max \left[\frac{h_i + 500C_e d_i (d - d_i) - h_{rs}}{d - d_i} \right] \text{ m/km}$$

حيث يتخذ مؤشر المظهر الجانبي n قيمًا تترواح بين 2 و 1.

٣- حسب مسافة نقطة بولينغتون من المرسل:

$$(54) \quad d_b = \frac{h_{rs} - h_{ts} + S_{rim}d}{S_{tim} + S_{rim}} \quad \text{km}$$

٤- حسب معلومة الانعراج، v_b ، لنقطة بولينغتون:

$$(55) \quad v_b = \left[h_{ts} + S_{tim}d_b - \frac{h_{ts}(d-d_b) + h_{rs}d_b}{d} \right] \sqrt{\frac{0.002d}{\lambda d_b(d-d_b)}}$$

و في هذه الحالة، تُعطى خسارة حد السكين لنقطة بولينغتون كما يلي:

$$(56) \quad L_{uc} = J(v_b) \quad \text{dB}$$

و من أجل الخسارة L_{uc} المحسوبة باستخدام إحدى المعادلتين (52) أو (56)، تُعطى خسارة انعراج بولينغتون في المسير كما يلي:

$$(57) \quad L_b = L_{uc} + [1 - \exp(-L_{uc}/6)](10 + 0.02d)$$

2.5.4 الطريقة الكاملة

تُستخدم الطريقة المذكورة في الفقرة 1.5.4 للمظهر الجانبي الفعلي للتضاريس وارتفاعات الهوائي. وتضبط خسارة انعراج بولينغتون الناتجة في المسير الفعلي L_{ba} dB عند L_b على النحو المُعطى في المعادلة (57).

ويُحسب ارتفاعاً المرسل والمستقبل الفعالان نسبة إلى سطح أملس موائم مع المظهر الجانبي على النحو التالي.

ويُحسب متوسط ارتفاع المظهر الجانبي:

$$(58) \quad h_a = \left(\frac{1}{2d} \right) \sum_{i=1}^n (d_i - d_{i-1})(h_i + h_{i-1}) \quad \text{masl}$$

و يُعطى ميل مواءمة ارتداد الحد الأدنى من المربعات كما يلي:

$$(59) \quad m = \left(\frac{1}{d^3} \right) \sum_{i=1}^n \left[3(d_i - d_{i-1})(d_i + d_{i-1} - d)(h_i + h_{i-1} - 2h_a) + (d_i - d_{i-1})^2 (h_i - h_{i-1}) \right] \quad \text{m/km}$$

و تُحسب القيم المؤقتة الأولية لارتفاعات السطح الأملس في طرف الإرسال والاستقبال للمسير:

$$(60) \quad h_{stip} = h_a - 0.5md \quad \text{masl}$$

$$(60) \quad h_{srp} = h_a + 0.5md \quad \text{masl}$$

إيجاد أعلى ارتفاع لعائق فوق مسار خط مستقيم من المرسل إلى المستقبل، h_{obs} ، وزاويتي الارتفاع عن الأفق α_{obt} و α_{obr} ، وكل ذلك على أساس هندسة الأرض المستوية، وفقاً لما يلي:

$$(61) \quad h_{obs} = \max \{h_{obi}\} \quad \text{m}$$

$$(61) \quad \alpha_{obt} = \max \{h_{obi}/d_i\} \quad \text{mrad}$$

$$(61) \quad \alpha_{obr} = \max \{h_{obi}/(d - d_i)\} \quad \text{mrad}$$

حيث:

$$(61) \quad h_{obi} = h_i - [h_{ts}(d - d_i) + h_{rs}d_i]/d \quad \text{masl}$$

ويتخد مؤشر المظهر الجانبي i قيماً تتراوح بين 2 و 1.

وتحسب القيم المؤقتة لارتفاعات السطح الأملس في طرف الارسال والاستقبال للمسير:

إذا كان h_{obs} أقل من الصفر أو يساويه، عندئذ:

$$(62) \quad h_{stp} = h_{stip} \quad \text{masl}$$

$$(62) \quad h_{srp} = h_{srsp} \quad \text{masl}$$

وإلا:

$$(62) \quad h_{stp} = h_{stip} - h_{obs}g_t \quad \text{masl}$$

$$(62) \quad h_{srp} = h_{srsp} - h_{obs}g_r \quad \text{masl}$$

حيث:

$$(62) \quad g_t = \alpha_{obt}/(\alpha_{obt} + \alpha_{obr})$$

$$(62) \quad g_r = \alpha_{obr}/(\alpha_{obt} + \alpha_{obr})$$

وتحسب القيم النهائية لارتفاعات السطح الأملس في طرف الارسال والاستقبال للمسير:

إذا كان h_{stp} أكبر من h_l ، عندئذ:

$$(63) \quad h_{st} = h_l \quad \text{masl}$$

وإلا:

$$(63) \quad h_{st} = h_{stp} \quad \text{masl}$$

إذا كان h_{srp} أكبر من h_n ، عندئذ:

$$(63) \quad h_{sr} = h_n \quad \text{masl}$$

وإلا:

$$(63) \quad h_{sr} = h_{srp} \quad \text{masl}$$

تستخدم الطريقة المذكورة في الفقرة 1.5.4 للمظهر الجانبي الأملس بتصغير جميع ارتفاعات المظهر الجانبي، h_i ، مع تعديل ارتفاعات الهوائي:

$$(64) \quad h'_{ts} = h_{rs} - h_{st} \quad \text{masl}$$

$$(64) \quad h'_{rs} = h_{rs} - h_{sr} \quad \text{masl}$$

وتحسب خسارة انبعاج بولينغتون الناتجة في المسير الأملس L_b dB عند L_{bs} على النحو المعطى في المعادلة (57).

وُتستخدم طريقة الانعراج فوق أرض كروية على النحو الموضح في الفقرة 2.3 للطول الفعلي للمسير، d km، وبما يلي:

$$(65) \quad h_1 = h_{ts}^' \quad \text{m}$$

$$(65) \quad h_2 = h_{rs}^' \quad \text{m}$$

وُضبط خسارة الانعراج الناتجة للأرض الكروية L_{sph} dB عند A على النحو المعطى في المعادلة (25).

وتعطى خسارة الانعراج للمسير العام الآن كما يلي:

$$(66) \quad L = L_{ba} + \max\{L_{sph} - L_{bs}, 0\} \quad \text{dB}$$

5 الانعراج بواسطة حاجز رفيعة

تفترض الطرق التالية أن العائق يتخد شكل حاجز رفيعة. ويمكن أن تطبق هذه الطرق على الانتشار حول عائق أو عبر فتحة.

1.5 حاجز ذات عرض محدود

يمكن كبت التداخل الذي يتعرض له موقع استقبال (محطة أرضية صغيرة مثلاً) بواسطة حاجز اصطناعي محدود العرض يعترض اتجاه الانتشار. ويمكن في هذه الحالة، حساب المجال في ظل الحاجز من خلال الأخذ بحاف ثلات كحد السكين في الاعتبار، أي أعلى الحاجز وجانبه. وتؤدي التداخلات البناءة وغير البناءة للإسهامات الثلاثة المستقلة إلى تقلبات سريعة في شدة المجال عبر مسافات تعادل طول الموجة. ويقدم النموذج البسيط التالي تقديرات لقيم خسارة الانعراج الأدنى والمتوسطة حسب الموقع. ويتمثل هذا النموذج في جمع اتساع الإسهامات الفردية لتقدير خسارة الانعراج الأدنى، وجمع أسي للحصول على تقدير يخص متوسط خسارة الانعراج. وقد اختبر هذا النموذج في ظروف من الحسابات الدقيقة بواسطة نظرية الانعراج الموحدة (UTD) وقياسات عالية الدقة.

المرحلة 1: حساب المعلمة الهندسية v بالنسبة إلى حاف ثلات كحد السكين (الذروة والجانب الأيسر والجانب الأيمن) باستعمال أي من المعادلات من (26) إلى (29).

المرحلة 2: حساب عامل الخسارة $j^{(v)/20} = j(v)$ الذي يرتبط بكل حافة بالاستناد إلى المعادلة (31).

المرحلة 3: حساب أدنى خسارة الانعراج J_{min} انطلاقاً من:

$$(67) \quad J_{min}(v) = -20 \log \left[\frac{1}{j_1(v)} + \frac{1}{j_2(v)} + \frac{1}{j_3(v)} \right] \quad \text{dB}$$

أو بطريقة أخرى،

المرحلة 4: حساب خسارة الانعراج المتوسطة J_{av} انطلاقاً من:

$$(68) \quad J_{av}(v) = -10 \log \left[\frac{1}{j_1^2(v)} + \frac{1}{j_2^2(v)} + \frac{1}{j_3^2(v)} \right] \quad \text{dB}$$

2.5 الانبعاج بواسطة فتحات مستطيلة أو فتحات أو حواجز مركبة

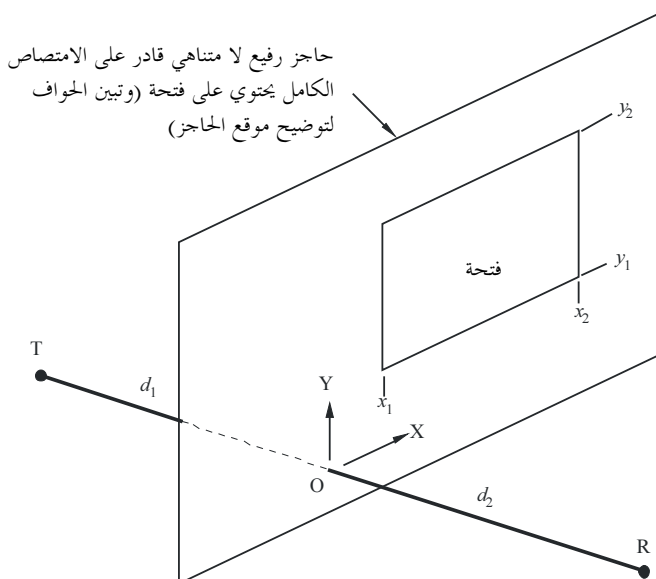
يمكن استعمال الطريقة الموصوفة أدناه للتبؤ بخسارة الانبعاج الناتجة عن فتحة مستطيلة "متصل بالكامل" حاجزاً رفيعاً. ويمكن استعمال هذه الطريقة لخطية العديد من الفتحات المستطيلة أو الحواجز الرفيعة، وهي تُعدّ وبالتالي طريقة بديلة بالنسبة إلى حاجز ذي عرض محدود. وقد نوقشت هذه الطريقة في الفقرة 1.5.

1.2.5 الانبعاج بواسطة فتحة مستطيلة وحيدة

يبين الشكل 15 الهندسة المستعملة لتمثيل فتحة مستطيلة "متصل بالكامل" حاجزاً رفيعاً.

الشكل 15

هندسة فتحة مستطيلة وحيدة



P.0526-15

تعطى موقع حواف الفتحات، x_1 و y_1 و x_2 و y_2 داخل نظام إحداثيات ديكاري حيث يقع المصدر عند النقطة التي يمر عندها الخط المستقيم من المرسل T إلى المستقبل R عبر الحاجز، مع انتشار موازي المحور Z و T و R عند المسافتين d_1 و d_2 على التوالي وراء الحاجز وأمامه.

وتعطى شدة المجال، e_a ، عند المستقبل في وحدات خطية مقيسة بالنسبة إلى الفضاء الحر في صيغة مركبة بواسطة:

$$(69) \quad e_a(x_1, x_2, y_1, y_2) = 0.5(C_x C_y - S_x S_y) + j 0.5 (C_x S_y + S_x C_y)$$

حيث:

$$(70) \quad C_x = C(V_{x2}) - C(V_{x1})$$

$$(70) \quad C_y = C(V_{y2}) - C(V_{y1})$$

$$(70) \quad S_x = S(V_{x2}) - S(V_{x1})$$

$$(70) \quad S_y = S(V_{y2}) - S(V_{y1})$$

وُعطى قيم v الأربع بواسطة المعادلة (26) التي تحل محل x_1 و x_2 و y_1 و y_2 بالنسبة إلى h ، و $C(v)$ و $S(v)$ كما يرددان في المعادلتين (7أ) و (7ب)، ويمكن تقييمها اطلاقاً من معامل فريندل المركب باستعمال المعادلتين (8أ) و (8ب).

وتعطى خسارة الانعراج المقابلة L_a بواسطة:

$$(71) \quad L_a = -20 \log(e_a) \quad \text{dB}$$

2.2.5 الانعراج بواسطة فتحات أو حواجز مركبة

يمكن توسيع نطاق الطريقة الخاصة بفتحة مستطيلة وحيدة على النحو التالي:

بما أنه في حالة الوحدات الخطية المقيسة بالنسبة إلى الفضاء الحر للمعادلة (69)، يُعطى مجال الفضاء الحر بواسطة $0,0 \leq j \leq 1,0$ ، ويعطى المجال المركب المقيس e_s الناتج عن حاجز مستطيل وحيد (معزولة عن الأرض) بواسطة:

$$(72) \quad e_s = 1,0 - e_a$$

حيث تُحسب e_a باستعمال المعادلة (69) بالنسبة إلى فتحة لها نفس الحجم والموقع مثلما هو الحال بالنسبة إلى الحاجز.

يمكن حساب المجال المقيس الناتج عن تركيبات مكونة من العديد من الفتحات المستطيلة أو الحاجز المعزولة بإضافة نتائج المعادلة (69) أو (72).

يمكن تقرير الفتحات أو الحاجز ذات الأشكال العشوائية بواسطة تركيبات ملائمة تتكون من فتحات أو حاجز مستطيل.

بما أن تكامليتنا $C(v)$ و $S(v)$ تميلان إلى الالتفاء عند $0,5 \leq j \leq 0,5$ مع اقتراب v من الالاتاهي، يمكن تطبيق المعادلة (50) على المستويات ذات المدى غير المحدود في اتجاه واحد أو أكثر.

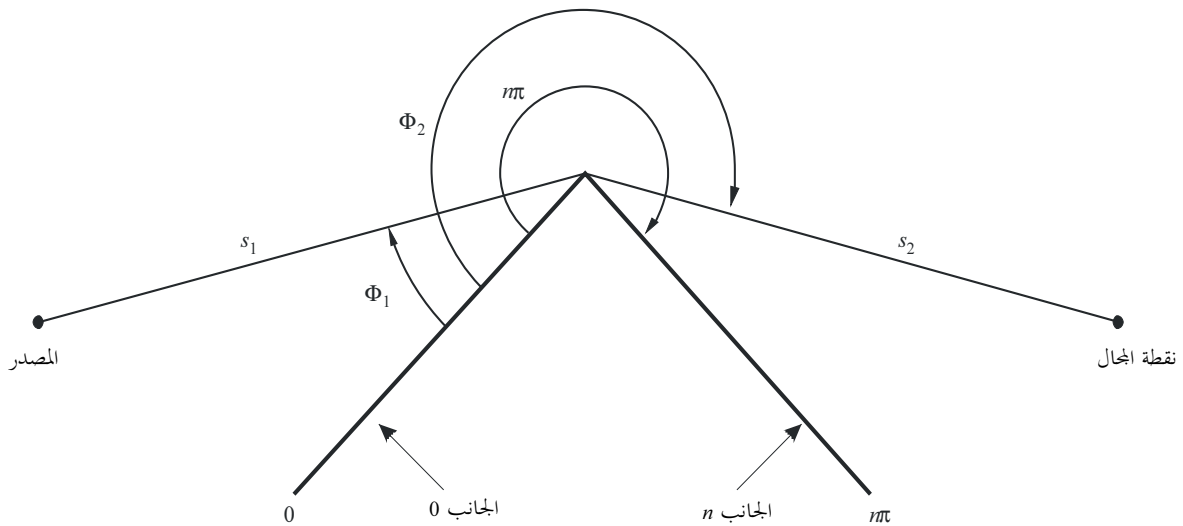
6 الانعراج على إسفين ذي إ يصلالية محدودة

ويمكن استعمال الطريقة الموصوفة أدناه للتبيؤ بخسارة الانعراج الناتجة عن إسفين ذي إ يصلالية محدودة. ونجده من بين التطبيقات التي تناسب مع هذه الطريقة دراسة الانعراج حول زاوية مبنية معين، أو على قمة السقف، أو عندما تختص التضاريس الأرضية بربوة ذات شكل إسفيني. وتتطلب هذه الطريقة معرفة الإ يصلالية والسماحية للإسفين المعين، وتفترض عدم وجود أي إرسال عبر هذا العائق.

وتنسند هذه الطريقة إلى النظرية المنظمة للانعراج. ويؤخذ في الاعتبار الانعراج في كلٌ من منطقتي الظل وخط البصر، وتحت طريقة للاتقال السادس بين المناطق.

ويوضح الشكل 16 الرسم الهندسي لعائق إسفيني الشكل له إ يصلالية محدودة.

الشكل 16
هندسة انبعاث الإسفين وفقاً للنظرية المنتظمة للانبعاث



P.0526-16

الصيغة التي تعطيها النظرية المنتظمة للانبعاث (UTD) بالنسبة إلى المجال الكهربائي عند نقطة المجال، مع الاقتصار على مجال ذي بعدين، هي:

$$(73) \quad e_{UTD} = e_0 \frac{\exp(-jk s_1)}{s_1} D^{\perp\parallel} \cdot \sqrt{\frac{s_1}{s_2(s_1 + s_2)}} \cdot \exp(-jk s_2)$$

حيث

• e_{UTD} : المجال الكهربائي عند نقطة المجال؛• e_0 : الاتساع النسيي للمصدر؛• s_1 : المسافة بين نقطة المصدر وحافة الانبعاث؛• s_2 : المسافة بين حافة الانبعاث ونقطة المجال؛• k : عدد الموجات $2\pi/\lambda$ ؛

$D^{\perp\parallel}$: معامل الانبعاث تبعاً لاستقطاب (مواز أو متعمد مع مستوى السقوط) مجال السقوط على الحافة s_1 و s_2 و λ في وحدات متسقة.

ويعطى معامل الانبعاث بالنسبة إلى إسفين الإيصالية المنتهية بواسطة:

$$(74) \quad D^{\perp\parallel} = \frac{-\exp(-j\pi/4)}{2n\sqrt{2\pi k}} \left\{ \begin{array}{l} \cot\left(\frac{\pi + (\Phi_2 - \Phi_1)}{2n}\right) \cdot F(kLa^+(\Phi_2 - \Phi_1)) \\ + \cot\left(\frac{\pi - (\Phi_2 - \Phi_1)}{2n}\right) \cdot F(kLa^-(\Phi_2 - \Phi_1)) \\ + R_0^{\perp\parallel} \cdot \cot\left(\frac{\pi - (\Phi_2 + \Phi_1)}{2n}\right) \cdot F(kLa^-(\Phi_2 + \Phi_1)) \\ + R_n^{\perp\parallel} \cdot \cot\left(\frac{\pi + (\Phi_2 + \Phi_1)}{2n}\right) \cdot F(kLa^+(\Phi_2 + \Phi_1)) \end{array} \right\}$$

حيث:

- Φ_1 : زاوية السقوط، مقيسة من جهة السقوط (الجهة 0);
- Φ_2 : زاوية الانعراف، مقيسة من جهة السقوط (الجهة 0);
- n : الزاوية الخارجية للإسفين كمضاعف π رadians (الزاوية الحقيقية = $n\pi$ rad);
- $j = \sqrt{-1}$.

وحيث $F(x)$ هي تكاملية فرييل:

$$(75) \quad F(x) = 2j\sqrt{x} \cdot \exp(jx) \cdot \int_{\sqrt{x}}^{\infty} \exp(-jt^2) dt$$

$$(76) \quad \int_{\sqrt{x}}^{\infty} \exp(-jt^2) dt = \sqrt{\frac{\pi}{8}}(1 - j) - \int_0^{\sqrt{x}} \exp(-jt^2) dt$$

ويمكن حساب التكاملية بواسطة التكامل الرقمي.

ويمكن أيضاً الاستعانة بالتقريب المفيد التالي:

$$(77) \quad \int_{\sqrt{x}}^{\infty} \exp(-jt^2) dt = \sqrt{\frac{\pi}{2}} A(x)$$

حيث:

$$(78) \quad A(x) = \begin{cases} \frac{1-j}{2} - \exp(-jx) \sqrt{\frac{x}{4}} \sum_{n=0}^{11} \left[(a_n + jb_n) \left(\frac{x}{4}\right)^n \right] & \text{if } x < 4 \\ -\exp(-jx) \sqrt{\frac{4}{x}} \sum_{n=0}^{11} \left[(c_n + jd_n) \left(\frac{4}{x}\right)^n \right] & \text{otherwise} \end{cases}$$

وتعطى المعاملات a و b و c و d في الجزء 7.2.

$$(79) \quad L = \frac{s_2 \cdot s_1}{s_2 + s_1}$$

$$(80) \quad a^\pm(\beta) = 2 \cos^2 \left(\frac{2n\pi N^\pm - \beta}{2} \right)$$

حيث:

$$(81) \quad \beta = \Phi_2 \pm \Phi_1$$

في المعادلة (45)، N^\pm هي الأعداد الصحيحة التي تستجيب على الوجه الأفضل إلى المعادلة التالية:

$$(82) \quad N^\pm = \frac{\beta \pm \pi}{2n\pi}$$

و R_n^\perp و R_0^\perp معامل الانعكاس بالنسبة إلى الاستقطاب التعمدي والاستقطاب الموازي، يعطيان بواسطة:

$$(83) \quad R^\perp = \frac{\sin(\Phi) - \sqrt{\eta - \cos(\Phi)^2}}{\sin(\Phi) + \sqrt{\eta - \cos(\Phi)^2}}$$

$$(84) \quad R^{\parallel} = \frac{\eta \cdot \sin(\Phi) - \sqrt{\eta - \cos(\Phi)^2}}{\eta \cdot \sin(\Phi) + \sqrt{\eta - \cos(\Phi)^2}}$$

حيث:

$\Phi = \Phi_1$ بالنسبة إلى R_0 و $(n\pi - \Phi_2)$ بالنسبة إلى R_n .

$$\eta = \epsilon_r - j \times 18 \times 10^9 \sigma / f$$

ϵ : خاصية العزل النسبية الثابتة لمادة الإسفين؛

σ : إيسالية مادة الإسفين (S/m)؛

f : التردد (Hz).

وتجدر الإشارة إلى أنه يمكن جانبي الإسفين، عند الضرورة، أن يكونا ذات خصائص كهربائية مختلفة.

وعند حدود منطقي الظل والانعكاس، تصبح إحدى دوال ظل التمام في المعادلة (74) مفردة.

غير أن D^\perp تظل مع ذلك محدودة ويمكن تقديرها بسهولة. ويعطى الحد الذي يحتوي على دالة ظل التمام المفردة بالنسبة إلى ϵ الصغير، على النحو التالي:

$$(85) \quad \cot\left(\frac{\pi \pm \beta}{2n}\right) \cdot F(kLa^\pm(\beta)) \equiv n \cdot [\sqrt{2\pi kL} \cdot \text{sign}(\epsilon) - 2kL\epsilon \cdot \exp(j\pi/4)] \cdot \exp(j\pi/4)$$

حيث تعرف ϵ بواسطة:

$$(86) \quad \epsilon = \pi + \beta - 2\pi n N^+ \quad \text{for } \beta = \Phi_2 + \Phi_1$$

$$(87) \quad \epsilon = \pi - \beta + 2\pi n N^- \quad \text{for } \beta = \Phi_2 - \Phi_1$$

وستكون قيمة معامل الانعراج الناتج متواصلة عند حدود منطقي الظل والانعكاس، بشرط أن يستعمل نفس معامل الانعكاس عند حساب الأشعة المنعكسة.

ويعطى المجال e_{LD} الناتج عن شعاع الانعراج، زائد شعاع خط البصر بالنسبة إلى $(\Phi_2 - \Phi_1)$ بوساطة:

$$(88) \quad e_{LD} = \begin{cases} e_{UTD} + \frac{\exp(-jks)}{s} & \text{for } \Phi_2 < \Phi_1 + \pi \\ e_{UTD} & \text{for } \Phi_2 \geq \Phi_1 + \pi \end{cases}$$

حيث:

s : مسافة الخط المستقيم بين المصدر ونقاط المجال.

وجدير بالذكر أنه في الحالة $\Phi_2 - \Phi_1 = \pi$ ، يصبح الحد الثاني لظل التمام في المعادلة (74) مفرداً، ويتعين استعمال التقرير الذي تعطيه المعادلة (85).

وتعطى شدة المجال عند نقطة المجال (dB) بالنسبة إلى المجال الذي قد يوجد عند نقطة المجال في غياب عائق إسفيني الشكل (أي dB بالنسبة إلى الفضاء الحر) بتثبيت e_0 عند وحدة المعادلة (73) وبحساب:

$$(89) \quad E_{UTD} = 20 \log \left(\left| \frac{s \cdot e_{UTD}}{\exp(-jks)} \right| \right)$$

حيث:

s : مسافة الخط المستقيم بين المصدر ونقاط المجال.

مع الملاحظة إلى أنه بالنسبة إلى $n = 2$ ومعاملات انعكاس عديمة القيمة، يجب أن تُعطى هذه العبارة نفس النتائج التي يعطيها منحنى خسارة الانتعاج على حافة كحد السكين (انظر الشكل 9).

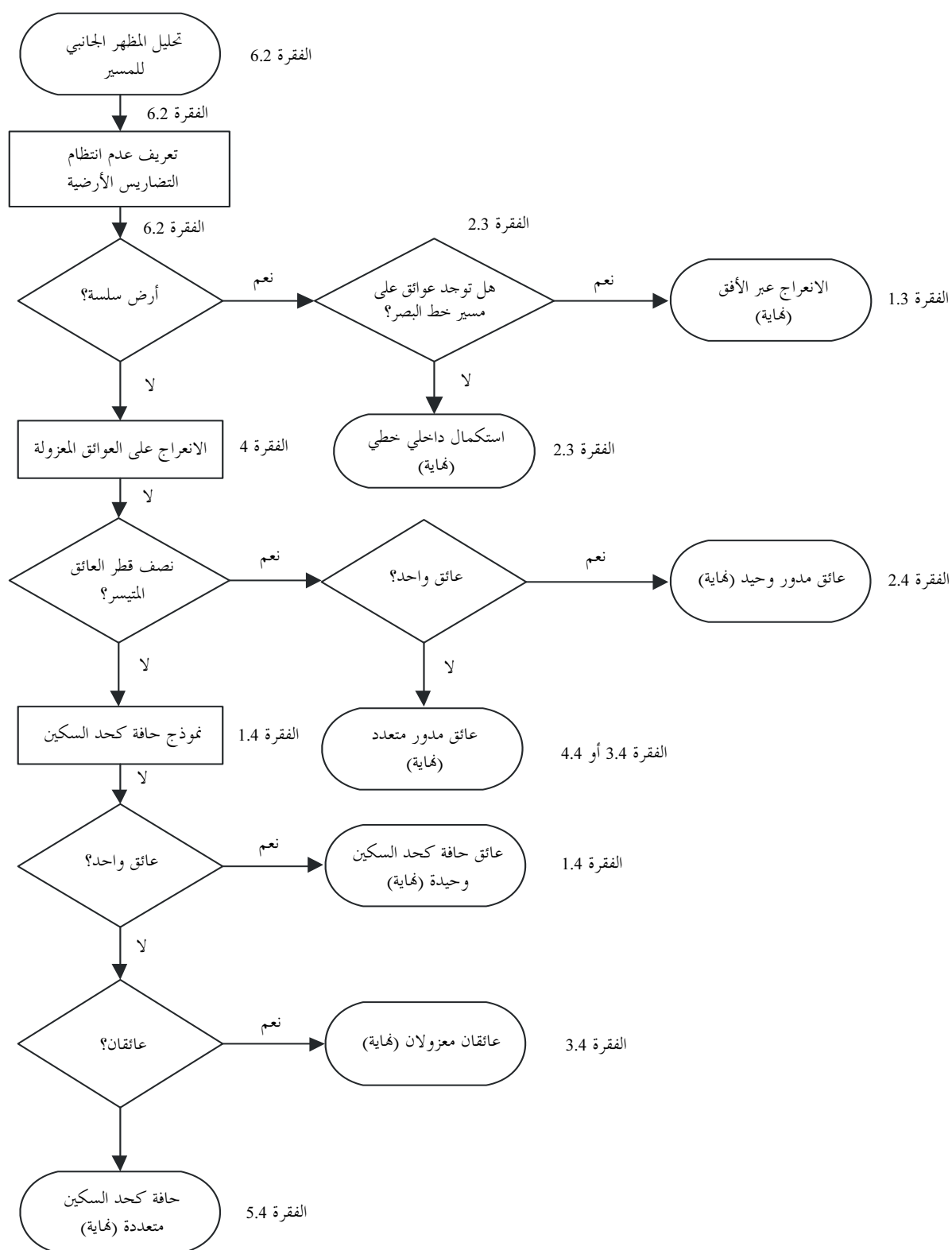
ويوجد لدى مكتب الاتصالات الراديوية صيغة نظرية الانتعاج الموحدة (UTD) أعدت بواسطة برنامج MathCAD.

7 دليل الانتشار بالانتعاج

يحتوي الشكل 17 على دليل عام لتقدير خسارة الانتعاج التي ورد توضيحها في الفقرتين 3 و4. ويلخص هذا الشكل الإجراء الواجب اعتماده في كل حالة.

الشكل 17

دليل الانتشار بالانبعاث



التدليل 1

للملحق 1

حساب معلمات الأسطوانات

يمكن استعمال الإجراء التالي لحساب معلمات الأسطوانات التي يوضحها الشكلان 8 و 14 بالنسبة إلى كل عائق من عوائق التضاريس الأرضية. وستعمل الوحدات المتعددة، وتستخدم جميع الزوايا وحدة الرadian. وتصح كل التقريريات المستعملة بالنسبة إلى المسيرات الراديوية التي توجد بين حوالي 5° من الأفق.

1 زاوية الانبعاث وموقع القمة

مع أن زاوية الانبعاث على الإسطوانة وموقع القمة لا يستعملان مباشرة كمعلمات أسطوانية، إلا أنهما ضروريان. وتعطى زاوية الانبعاث على العائق بواسطة:

$$(90) \quad \theta = \alpha_w + \alpha_z + \alpha_e$$

حيث تعطى α_w و α_z الارتفاع الزاوي للنقاطين x و y فوق الأفق المحلي منظوراً إليهما من النقاطين w و z على التوالي بواسطة:

$$(91) \quad \alpha_w = \frac{(h_x - h_w)}{d_{wx}} - \frac{d_{wx}}{2a_e}$$

$$(92) \quad \alpha_z = \frac{(h_y - h_z)}{d_{yz}} - \frac{d_{yz}}{2a_e}$$

وتعطى α_e ، الزاوية التي تقع قبلة مسافة الدائرة العظمى بين النقاطين w و z بواسطة:

$$(93) \quad \alpha_e = \frac{d_{wz}}{a_e}$$

وتحسب مسافة القمة من النقطة w وفقاً لما إذا كان العائق مثلاً بعينة مظهر جانبي وحيدة أو بعينات أكثر: بالنسبة إلى عائق نقطة وحيدة:

$$(94) \quad d_{ww} = d_{wx}$$

بالنسبة إلى عائق متعدد النقاط، من الضروري الاحتماء ضد قيم صغيرة جداً من الانبعاث.

$$(95) \quad d_{ww} = \begin{cases} \left[\left(\frac{\alpha_z + \alpha_e}{2} \right) d_{wz} + h_z - h_w \right] & \text{for } \theta \cdot a_e \geq d_{xy} \\ 0 & \text{for } \theta \cdot a_e < d_{xy} \end{cases}$$

$$(95\text{ب}) \quad d_{ww} = \frac{(d_{wx} + d_{wy})}{2} \quad \text{for } \theta \cdot a_e < d_{xy}$$

وتعطى مسافة النقطة z من نقطة القمة بواسطة:

$$(96) \quad d_{vz} = d_{wz} - d_{ww}$$

ويتحسب ارتفاع نقطة القمة فوق مستوى سطح البحر وفقاً لما إذا كان العائق مثلاً بعينة مظهر جانبي وحيدة أو بعينات أكثر.

بالنسبة إلى عائق نقطة وحيدة:

$$(97) \quad h_v = h_x$$

بالنسبة إلى عائق متعدد النقاط:

$$(98) \quad h_v = \frac{d_{wv}\alpha_w + h_w + d_{2wv}}{2a_e}$$

2 معلمات الأسطوانات

يمكن الآن حساب معلمات الأسطوانات التي يرد توضيحها في الشكل 8c لكل واحد من عوائق التضاريس الأرضية التي يحددها تحليل السلسلة.

مسافتا ما بين القمة الموجبة بالنسبة إلى العائق (أو المطاريف) على المرسل وعلى جانبي مستقبل العائق على التوالي، d_1 و d_2 مسافتا ما بين القمة الموجبة بالنسبة إلى العائق على المرسل وعلى جانب مستقبل العائق على التوالي، و:

$$(99) \quad h = h_v + \frac{d_{wv}d_{vz}}{2a_e} - \frac{(h_w d_{vz} + h_z d_{wv})}{d_{wz}}$$

ولحساب نصف قطر الأسطوانة، تُستعمل عينتان إضافيتان من عينات المظهر الجانبي:
ـ: النقطة المجاورة لـ x على جانب المرسل،

و:

ـ: النقطة المجاورة لـ y على جانب المستقبل.

وهكذا تُعطى دلائل المظهر الجانبي p و q بواسطة:

$$(100) \quad p = x - 1$$

و:

$$(101) \quad q = y + 1$$

وإذا كانت نقطة معطاة بواسطة p أو q تمثل مطراً، يجب أن تكون قيمة h المقابلة ارتفاع التضاريس الأرضية عند تلك النقطة، وليس ارتفاع المواتي فوق مستوى سطح البحر.

ويُحسب نصف قطر الإسطوانة بوصفه الفارق في الانحدار بين جزء المظهر الجانبي $p-x$ و $q-y$ ، مع الأخذ في الاعتبار انخفاء الأرض، مقسوماً على المسافة بين p و q .

وتتمثل المسافات بين عينات المظهر الجانبي التي يتطلبها هذا الحساب فيما يلي:

$$(102) \quad d_{px} = d_x - d_p$$

$$(103) \quad d_{yq} = d_q - d_y$$

$$(104) \quad d_{pq} = d_q - d_p$$

ويعطى فارق الانحدار بين جزئي $p-x$ و $q-y$ بالراديان (وحدة قياس الزوايا):

$$(105) \quad t = \frac{(h_x - h_p)}{d_{px}} + \frac{(h_y - h_q)}{d_{yq}} - \frac{d_{pq}}{a_e}$$

حيث a_e نصف قطر الأرض الفعال.

ويعطى نصف قطر الإسطوانة الآن بواسطة:

$$(106) \quad R = [d_{pq} / t] [1 - \exp(-4v)]^3$$

حيث v معلومة حافة كحد السكين بلا أبعاد في المعادلة (32).

ويمثل العامل الثاني، في المعادلة (106)، دالة سلسلة تجريبية تطبق على نصف قطر الإسطوانة لتفادي حدوث تقطّع في عوائق خط البصر الهامشية (LoS).

التذيل 2 للملحق 1

خسائر انعراج المسير الفرعي

1 المقدمة

يعرض هذا التذيل طريقة لحساب خسارة انعراج المسير الفرعي بالنسبة إلى جزء فرعي لخط البصر يتعلق بمسير انعراج. وقد تمت نمذجة المسير بواسطة إسطوانات متسلسلة تحتضن كل واحدة منها نقاط مظهر جانبي w و x و z مثلما يرد توضيح ذلك في الشكلين 13 و 14. ويجب حساب انعراج المسير الفرعي لكل جزء فرعي للمسير الإجمالي بين النقاط الممثلة بواسطة w و x أو y و z . وتمثل هذه أجزاء خط البصر للمسير بين العوائق، أو بين مطراف وعائق.

ويمكن استعمال هذه الطريقة أيضاً بالنسبة إلى خط البصر مع انعراج مسير فرعي، وفي هذه الحالة تُطبق هذه الطريقة على المسير بأكمله.

2 الطريقة

تتمثل المهمة الأولى، بالنسبة إلى جزء خط البصر للمظهر الجانبي بين عينات المظهر الجانبي التي يرمز إليها بواسطة w و z ، في التعرف على عينة المظهر الجانبي البيانية ولكن استبعد w و z اللذان يعيقان الجزء الأكبر من منطقة فريبل الأولى بالنسبة إلى شعاع يتحرك من w إلى z .

ولتفادي اختيار نقطة تمثل جزءاً جوهرياً من عوائق التضاريس الأرضية التي سبقت نمذجتها كأسطوانة، ينحصر المظهر الجانبي بين w و z في جزء بين اثنين من الرموز الإضافية p و q ، يُحدّدان على النحو التالي:

$$\cdot 1 + u = p \quad -$$

إذا كان كل من $p > v$ و $h_{p+1} < h_p$ ، نزيد 1 إلى p ونكرر. $-$

$$\cdot 1 - v = q \quad -$$

إذا كان كل من $q < u$ و $h_{q-1} < h_q$ ، ننقص 1 من q ونكرر. $-$

وإذا كانت $p = q$ ، تحدد خسارة عائق المسير الفرعي وبالتالي عند القيمة 0. ويجري الحساب في الحالات الأخرى كالتالي.

ومن الضروري الآن إيجاد القيمة الدنيا للخلوص المعياري، C_F ، المعطاة بواسطة h_z/F_1 ، بالوحدات المتسقة:

h_z : ارتفاع الشعاع فوق نقطة المظهر الجانبي؛

F_1 : نصف قطر منطقة فريبل الأولى.

ويمكن كتابة الخلوص المعياري الأدنى على نحو ما يلي:

$$(107) \quad C_F = \min_{i=p}^q [(h_z)_i / (F_1)_i]$$

حيث:

$$(108) \quad (h_z)_i = (h_r)_i - (h_t)_i$$

$$(109) \quad (F_1)_i = \sqrt{\lambda \cdot d_{ui} \cdot d_{iv} / d_{uv}}$$

وتعطى $(h_r)_i$ ، ارتفاع الشعاع فوق خط مستقيم يربط بين مستوى سطح البحر عند u و v عند نقطة المظهر الجانبي i -th بواسطة:

$$(110) \quad (h_r)_i = (h_u \cdot d_{iv} + h_v \cdot d_{ui}) / d_{uv}$$

وتعطى $(h_t)_i$ ، ارتفاع التضاريس الأرضية فوق خط مستقيم يربط بين مستوى سطح البحر عند u و v عند نقطة المظهر الجانبي i -th بواسطة:

$$(111) \quad (h_t)_i = h_i + d_{ui} \cdot d_{iv} / 2a_e$$

تُستعمل القيمة الدنيا للخلوص المعياري لحساب المعلمة الهندسية لانعراج حد السكين لعائق المسير الفرعى الأكثر دلالة:

$$(112) \quad v = -C_F \cdot \sqrt{2}$$

ويتم الحصول في هذه الحالة على خسارة انعراج المسير الفرعى ("L") من المعادلة (31) أو الشكل 9.

وقد لا يكون مرغوباً بالنسبة لبعض التطبيقات إدخال تحسينات على انعراج المسير الفرعى. وفي هذه الحالة تضبط قيمة الخسارة "L" على الصفر بدلاً من أن تكون سالبة.